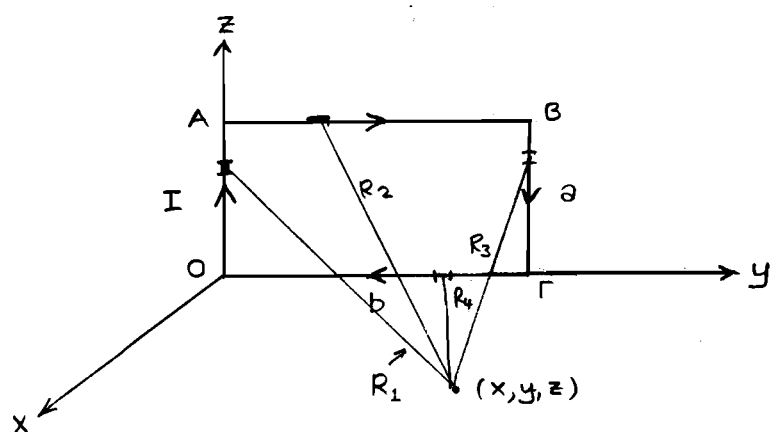


ΑΣΚΗΣΗ 1:

(α)  $\vec{A} = \frac{\mu_0}{4\pi} \int \frac{I d\vec{\ell}'}{R}$  και χρήση επαλληλίας

Τμήμα ΟΑ:  $\vec{A}_1 = \frac{\mu_0}{4\pi} \int_0^a \frac{I \hat{z} dz'}{[x^2 + y^2 + (z-z')^2]^{1/2}} =$

$$= \hat{z} \frac{I \mu_0}{4\pi} \left[ -\ln \left[ (z-z') + [x^2 + y^2 + (z-z')^2]^{1/2} \right] \right]_0^a$$

$$= \hat{z} \frac{I \mu_0}{4\pi} \ln \left[ \frac{z + [x^2 + y^2 + z^2]^{1/2}}{(z-a) + [x^2 + y^2 + (z-a)^2]^{1/2}} \right]$$

Τμήμα ΒΓ:  $\vec{A}_3 = \frac{\mu_0}{4\pi} \int_0^a \frac{I(-\hat{z}) dz'}{[x^2 + (y-b)^2 + (z-z')^2]^{1/2}} =$

$$= -\frac{I \mu_0}{4\pi} \hat{z} \left\{ -\ln \left[ (z-z') + [x^2 + (y-b)^2 + (z-z')^2]^{1/2} \right] \right\}_0^a$$

$$= -\hat{z} \frac{I \mu_0}{4\pi} \ln \left[ \frac{z + [x^2 + (y-b)^2 + z^2]^{1/2}}{(z-a) + [x^2 + (y-b)^2 + (z-a)^2]^{1/2}} \right]$$

Τμήμα ΑΒ:  $\vec{A}_2 = \frac{\mu_0}{4\pi} \int_0^b \frac{I \hat{y} dy'}{[x^2 + (y-y')^2 + (z-a)^2]^{1/2}} =$

$$= \hat{y} \frac{I \mu_0}{4\pi} \left[ -\ln \left[ (y-y') + [x^2 + (y-y')^2 + (z-a)^2]^{1/2} \right] \right]_0^b =$$

$$= \hat{y} \frac{I \mu_0}{4\pi} \ln \left[ \frac{y + [x^2 + y^2 + (z-a)^2]^{1/2}}{(y-b) + [x^2 + (y-b)^2 + (z-a)^2]^{1/2}} \right]$$

$$\begin{aligned}
 \text{Τμήμα ΓΟ: } \vec{A}_4 &= \frac{\mu_0}{4\pi} \int_0^b \frac{I(-\hat{y}) dy'}{[x^2 + (y-y')^2 + z^2]^{3/2}} = \\
 &= -\hat{y} \frac{I\mu_0}{4\pi} \left[ -\ln[(y-y') + [x^2 + (y-y')^2 + z^2]^{1/2}] \right]_0^b = \\
 &= -\hat{y} \frac{I\mu_0}{4\pi} \ln \left[ \frac{y + [x^2 + y^2 + z^2]^{1/2}}{(y-b) + [x^2 + (y-b)^2 + z^2]^{1/2}} \right]
 \end{aligned}$$

$$\text{Επομένως, } \vec{A} = A_y \hat{y} + A_z \hat{z} \quad \text{όπου}$$

$$A_y = \frac{I\mu_0}{4\pi} \ln \left[ \frac{y + [x^2 + y^2 + (z-a)^2]^{1/2}}{(y-b) + [x^2 + (y-b)^2 + (z-a)^2]^{1/2}} \cdot \frac{(y-b) + [x^2 + (y-b)^2 + z^2]^{1/2}}{y + [x^2 + y^2 + z^2]^{1/2}} \right]$$

$$A_z = \frac{I\mu_0}{4\pi} \ln \left[ \frac{z + [x^2 + y^2 + z^2]^{1/2}}{(z-a) + [x^2 + y^2 + (z-a)^2]^{1/2}} \cdot \frac{(z-a) + [x^2 + (y-b)^2 + (z-a)^2]^{1/2}}{z + [x^2 + (y-b)^2 + z^2]^{1/2}} \right]$$

$$(\beta) \quad \vec{B} = \vec{\nabla} \times \vec{A} = \begin{vmatrix} \hat{i}_x & \hat{i}_y & \hat{i}_z \\ \frac{\partial}{\partial x} & \frac{\partial}{\partial y} & \frac{\partial}{\partial z} \\ 0 & A_y & A_z \end{vmatrix} = \hat{i}_x \left[ \frac{\partial A_z}{\partial y} - \frac{\partial A_y}{\partial z} \right] - \hat{i}_y \left[ \frac{\partial A_z}{\partial x} \right] + \hat{i}_z \left[ \frac{\partial A_y}{\partial x} \right]$$

$$A_y = \frac{I\mu_0}{4\pi} \ln \frac{N_y}{D_y} \sim \frac{\partial A_y}{\partial x} = \frac{I\mu_0}{4\pi} \frac{D_y}{N_y} \frac{(\partial N_y / \partial x) D_y - (D_y / \partial x) N_y}{D_y^2} \Rightarrow$$

$$\frac{\partial A_y}{\partial x} = \frac{I\mu_0}{4\pi} \frac{D_y}{N_y} \left[ \frac{\partial N_y / \partial x}{D_y} - \frac{N_y}{D_y^2} \frac{\partial D_y}{\partial x} \right] \quad \text{όπου}$$

$$N_y(x, y, z) = [y + (x^2 + y^2 + (z-a)^2)]^{1/2} [(y-b) + (x^2 + (y-b)^2 + z^2)]^{1/2}$$

$$D_y(x, y, z) = [(y-b) + (x^2 + (y-b)^2 + (z-a)^2)]^{1/2} [y + (x^2 + y^2 + z^2)]^{1/2}$$

$$\frac{\partial A_y}{\partial z} = \frac{I\mu_0}{4\pi} \frac{D_y}{N_y} \left[ \frac{\partial N_y / \partial z}{D_y} - \frac{N_y}{D_y^2} \frac{\partial D_y}{\partial z} \right]$$

$$A_z = \frac{I\mu_0}{4\pi} \ln \left( \frac{N_z}{D_z} \right) \sim \frac{\partial A_z}{\partial x} = \frac{I\mu_0}{4\pi} \frac{D_z}{N_z} \left[ \frac{1}{D_z} \frac{\partial N_z}{\partial x} - \frac{N_z}{D_z^2} \frac{\partial D_z}{\partial x} \right]$$

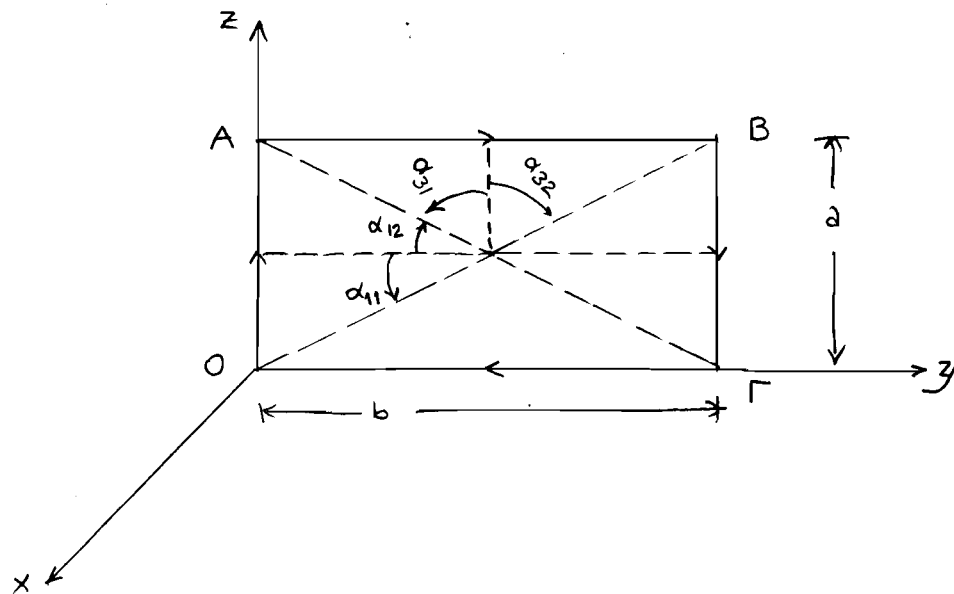
$$\frac{\partial A_z}{\partial y} = \frac{I\mu_0}{4\pi} \frac{D_z}{N_z} \left[ \frac{1}{D_z} \frac{\partial N_z}{\partial y} - \frac{N_z}{D_z^2} \frac{\partial D_z}{\partial y} \right]$$

όπου

$$N_z(x, y, z) = [z + (x^2 + y^2 + z^2)]^{1/2} [(z-a) + [x^2 + (y-b)^2 + (z-a)^2]^{1/2}]$$

$$D_z(x, y, z) = [(z-a) + [x^2 + y^2 + (z-a)^2]^{1/2}] [z + [x^2 + (y-b)^2 + z^2]^{1/2}]$$

(8)



Τμήμα OA: 
$$\vec{B}_1 = -\hat{l}_x \frac{\mu_0 I}{4\pi} \left( \frac{1}{b/2} \right) [\sin \alpha_{11} - \sin \alpha_{12}] =$$

$$= -\hat{l}_x \frac{\mu_0 I}{4\pi} \frac{2}{b} [2 \sin \alpha_{11}] =$$

$$= -\hat{l}_x \frac{\mu_0 I}{\pi} \frac{1}{b} \cdot \frac{a/2}{[(a/2)^2 + (b/2)^2]^{1/2}} = -\hat{l}_x \frac{\mu_0 I}{\pi} \left( \frac{a}{b} \right) \cdot \frac{1}{\sqrt{a^2 + b^2}}$$

Τμήμα BΓ 
$$\vec{B}_3 = -\hat{l}_x \frac{\mu_0 I}{\pi} \left( \frac{a}{b} \right) \cdot \frac{1}{\sqrt{a^2 + b^2}}$$

Τμήμα AB 
$$\vec{B}_2 = -\hat{l}_x \frac{\mu_0 I}{4\pi} \frac{1}{a/2} [\sin \alpha_{31} - \sin \alpha_{32}] =$$

$$= -\hat{l}_x \frac{\mu_0 I}{2\pi} \frac{1}{a} 2 \sin \alpha_{31} =$$

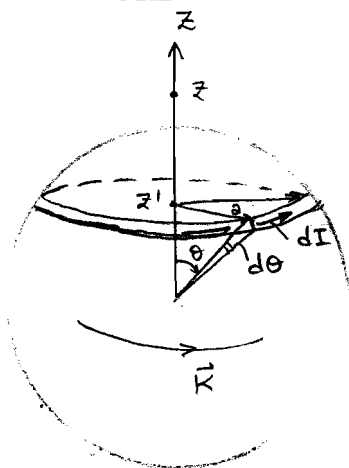
$$= -\hat{l}_x \frac{\mu_0 I}{\pi} \frac{1}{a} \cdot \frac{b/2}{[(a/2)^2 + (b/2)^2]^{1/2}} = -\hat{l}_x \frac{\mu_0 I}{\pi} \frac{b}{a} \cdot \frac{1}{\sqrt{a^2 + b^2}}$$

Τμήμα ΓΟ: 
$$\vec{B}_4 = -\hat{l}_x \frac{\mu_0 I}{\pi} \frac{b}{a} \cdot \frac{1}{\sqrt{a^2 + b^2}}$$

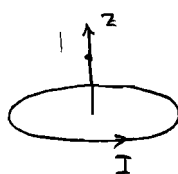
Επομένως στο κέντρο 
$$\vec{B} = -\hat{l}_x \frac{\mu_0 I}{\pi} 2 \cdot \frac{1}{\sqrt{a^2 + b^2}} \left[ \frac{a}{b} + \frac{b}{a} \right] =$$

$$\vec{B} = -\hat{l}_x \frac{\mu_0 I}{\pi} 2 \cdot \frac{\sqrt{a^2 + b^2}}{ab}$$

## ΑΣΚΗΣΗ 2:



(α) Θα χρησιμοποιήσουμε το αποτέλεσμα για κυκλικό βρόχο. Το μαγνητικό πεδίο στα σημεία του άξονα  $z$  από κυκλικό βρόχο ακτίνας  $a$  δίδεται από την σχέση:



$$\vec{H} = \hat{z} \frac{I}{2} \frac{a^2}{[z^2 + a^2]^{3/2}}$$

Εφαρμόζοντας το αποτέλεσμα του κυκλικού βρόχου για τόν βρόχο ακτίνας  $a$  της σφαίρας έχουμε:

$$d\vec{H} = \frac{dI}{2} \frac{a^2}{[(z-z')^2 + a^2]^{3/2}} \hat{z} \quad a = R \sin \theta, \quad dI = K_0 R d\theta$$

Επομένως αθροίζοντας για όλους τους βρόχους στους οποίους μπορεί να αναλυθεί το επιφανειακό ρεύμα της σφαίρας έχουμε:

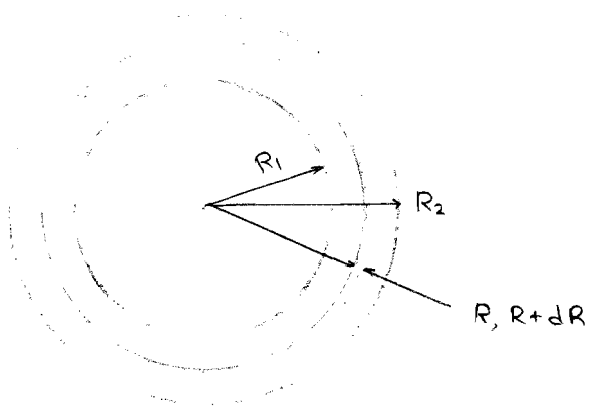
$$\vec{H}(z) = \int_{\theta=0}^{\pi} d\vec{H} = \hat{z} \int_{\theta=0}^{\pi} \frac{K_0 R d\theta}{2} \cdot \frac{R^2 \sin^2 \theta}{[z^2 + R^2 - 2Rz \cos \theta]^{3/2}} =$$

$$\vec{H}(z) = \hat{z} \frac{K_0 R^3}{2} \int_{\theta=0}^{\pi} \frac{\sin^2 \theta}{[z^2 + R^2 - 2Rz \cos \theta]^{3/2}} d\theta$$

(β) Για το κέντρο της σφαίρας  $z=0 \rightarrow$

$$\vec{H}(z=0) = \hat{z} \frac{K_0 R^3}{2} \int_0^{\pi} \frac{\sin^2 \theta}{R^3} d\theta = \frac{K_0 \pi}{4} \hat{z}$$

(γ) Στην περίπτωση του σφαιρικού μεγέθους μπορούμε να εφαρμόσουμε το προηγούμενο αποτέλεσμα.



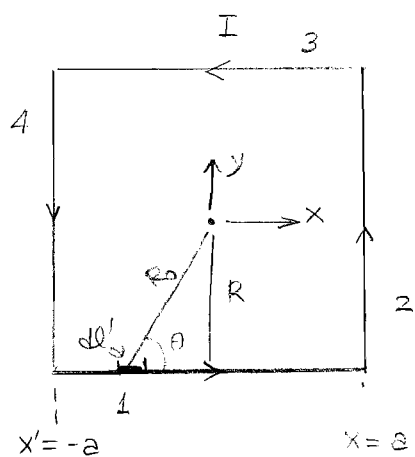
Το αντίστοιχο επιφανειακό ρεύμα στο στοιχειώδες πάχος υέδους από  $R, R+dR$

είναι  $\vec{K} = \vec{J} dR = J_0 dR \hat{\varphi}$  και το πεδίο  $d\vec{H} = \hat{z} \frac{J_0 dR \pi}{4}$

Επομένως το πεδίο στο κέντρο του υέδους είναι:

$$\vec{H}(z=0) = \int_{R=R_1}^{R_2} \frac{J_0 dR \pi}{4} \hat{z} = \hat{z} \frac{J_0 \pi}{4} (R_2 - R_1)$$

### ΑΣΚΗΣΗ 3:



(α) Το μαγνητικό πεδίο του τμήματος

1 δίδεται από τον νόμο του Biot-Savart:

(έστω  $2a$  η πλευρά του τετρ.)

$$\vec{B}_1 = \frac{\mu_0}{4\pi} \int_{x'=-a}^{x'=a} I \frac{d\vec{l}' \times \hat{r}}{R_0^2}$$

$$d\vec{l}' = \hat{i}_x dx', \quad R_0^2 = R^2 + x'^2$$

$$\hat{r} = \frac{\vec{R}_0}{R_0} = \hat{i}_x \cos\theta + \hat{i}_y \sin\theta, \quad R = a$$

$$\hat{i}_x \times \hat{r} = \hat{i}_z \sin\theta, \quad \sin\theta = R/R_0 = R/(R^2 + x'^2)^{1/2}$$

$$\begin{aligned} \vec{B}_1 &= \frac{\mu_0 I}{4\pi} \int_{-a}^a \hat{i}_z \cdot \frac{R dx'}{(R^2 + x'^2)^{3/2}} = \hat{i}_z \frac{\mu_0 I}{4\pi} \int_{-a}^a \frac{R dx'}{(R^2 + x'^2)^{3/2}} = \\ &= \hat{i}_z \frac{\mu_0 I}{4\pi} R \left[ \frac{x'}{R^2 [x'^2 + R^2]^{1/2}} \right]_{-a}^a = \hat{i}_z \frac{\mu_0 I}{4\pi} \frac{1}{R} \left[ \frac{a}{(a^2 + R^2)^{1/2}} + \frac{a}{(a^2 + R^2)^{1/2}} \right] \end{aligned}$$

$$= \hat{i}_z \frac{\mu_0 I}{4\pi} \frac{1}{R} \left( \frac{1}{\sqrt{2}} + \frac{1}{\sqrt{2}} \right) = \hat{i}_z \frac{\mu_0 I}{4\pi} \frac{1}{R} \sqrt{2}$$

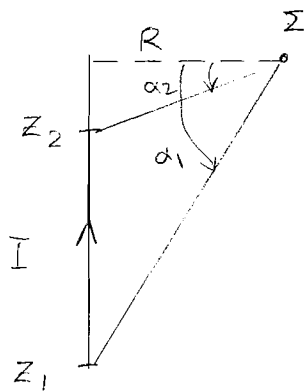
Επομένως η συμβολή των τεσσάρων πλευρών είναι:

$$\vec{B}_{tot} = \vec{B}_1 + \vec{B}_2 + \vec{B}_3 + \vec{B}_4 = \hat{i}_z \frac{\mu_0 I}{4\pi} \frac{1}{R} \sqrt{2} \cdot 4 \Rightarrow$$

$$\vec{B}_{tot} = \hat{i}_z \frac{\mu_0 I}{R} \sqrt{2} \quad \text{και} \quad \vec{H}_{tot} = \hat{i}_z \frac{I \sqrt{2}}{R} \quad \text{στο}$$

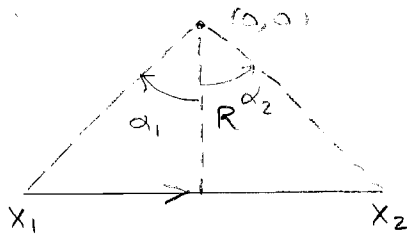
κέντρο του τετραγώνου.

Μπορούμε να φτιάξουμε στο ίδιο αποτέλεσμα χρησιμοποιώντας τον νόμο πεπερασμένου ευθύγραμμου τμήματος διαρροής στο ρεύμα  $I$ .



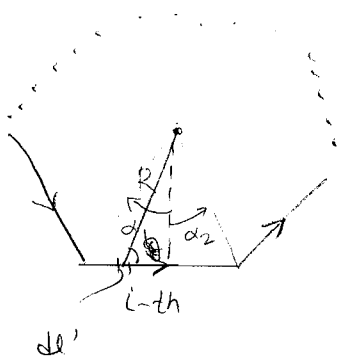
$$\vec{B}(z) = \frac{\mu_0 I}{4\pi} \frac{1}{R} [\sin \alpha_1 - \sin \alpha_2] \hat{y}$$

Για το τρίγωνο L του τετραγώνου:



$$\begin{aligned} \vec{B}_1 &= \hat{z} \frac{\mu_0 I}{4\pi} \frac{1}{R} (\sin 45^\circ - \sin(-45^\circ)) = \hat{z} \frac{\mu_0 I}{4\pi} \frac{1}{R} 2 \frac{\sqrt{2}}{2} = \\ &= \hat{z} \frac{\mu_0 I}{4\pi} \frac{1}{R} \sqrt{2} \quad \text{όπως και προηγούμεως.} \end{aligned}$$

(β) Κανονικό πολύγωνο:



$$\alpha_1 = -\alpha_2$$

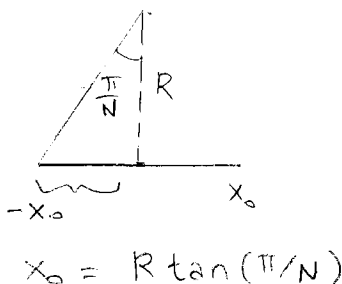
$$\alpha_1 = \frac{2\pi}{N} \frac{1}{2} = \frac{\pi}{N}$$

Για το τυχαίο τρίγωνο 'ε'.

$$\vec{B}_1 = \frac{\mu_0 I}{4\pi} \hat{z} \int_{-x_0}^{x_0} \frac{R dx'}{(x'^2 + R^2)^{3/2}} \Rightarrow$$

$$\vec{B}_1 = \frac{\mu_0 I}{4\pi} \hat{z} \left[ \frac{x'}{R [x'^2 + R^2]^{1/2}} \right]_{-x_0}^{x_0} \Rightarrow$$

$$\vec{B}_1 = \frac{\mu_0 I}{4\pi} \hat{z} \frac{1}{R} \left[ \frac{2R \tan(\pi/N)}{[1 + \tan^2(\pi/N)]^{1/2}} \right]$$



$$x_0 = R \tan(\pi/N)$$

$$\vec{B}_1 = \frac{\mu_0 I}{4\pi} \hat{z} \frac{1}{R} 2 \sin(\pi/N) = \hat{z} \frac{\mu_0 I}{2\pi} \frac{1}{R} \sin(\pi/N)$$

Το ολικό πεδίο είναι N φορές του  $\vec{B}_1$ . Επομένως,

$$\vec{B}_{\text{tot}} = \hat{z} \frac{\mu_0 I}{2\pi} \frac{1}{R} N \sin(\pi/N) \rightarrow \vec{H}_{\text{tot}} = \hat{z} \frac{I}{2\pi R} N \sin(\pi/N)$$

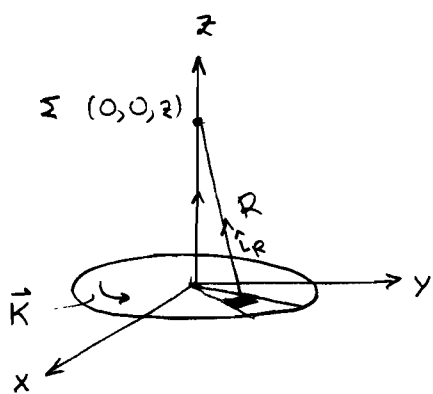
Στο όριο όταν  $N \rightarrow \infty$  τότε

$$\begin{aligned}\vec{B}_{\text{tot}} &= \hat{z} \frac{\mu_0 I}{2\pi} \frac{1}{R} \lim_{N \rightarrow \infty} \left( N \sin(\pi/N) \right) = \\ &= \hat{z} \frac{\mu_0 I}{2\pi} \frac{1}{R} \pi \lim_{N \rightarrow \infty} \left( \frac{\sin(\pi/N)}{\pi/N} \right) = \hat{z} \frac{\mu_0 I}{2\pi} \frac{1}{R} \pi \underbrace{\left( \lim_{x \rightarrow 0} \frac{\sin(x)}{x} \right)}_{\substack{\downarrow \\ 1}} \\ &= \hat{z} \frac{\mu_0 I}{2R} \sim \vec{H}_{\text{tot}} = \hat{z} \frac{I}{2R}\end{aligned}$$

που αντιστοιχεί στο μαγνητικό πεδίο στο κέντρο ενός κυκλικού βρόχου.



#### ΑΣΚΗΣΗ 4:



$$(α) \vec{K} = K_0 r_T \hat{\varphi}$$

Έστω σημείο  $\Sigma(0,0,z)$

Εφαρμογή Biot-Savart:

$$\vec{B} = \frac{\mu_0}{4\pi} \int_{S'} \frac{\vec{K} \times \hat{r}_R}{R^2} dS'$$

$$\vec{R} = \vec{r} - \vec{r}', \quad \vec{r} = z \hat{z}, \quad \vec{r}' = r_T' \cos \phi' \hat{x} + r_T' \sin \phi' \hat{y}$$

$$R = |\vec{R}| = [(r_T' \cos \phi')^2 + (r_T' \sin \phi')^2 + z^2]^{1/2} = (r_T'^2 + z^2)^{1/2}$$

$$\hat{r}_R = \frac{\vec{R}}{R} = \frac{-r_T' \cos \phi' \hat{x} + r_T' \sin \phi' \hat{y} + z \hat{z}}{(r_T'^2 + z^2)^{1/2}}, \quad dS' = r_T' d\phi' dr_T'$$

$$\vec{K} = K_0 r_T' \hat{\varphi} = K_0 r_T' [-\sin \phi' \hat{x} + \cos \phi' \hat{y}]$$

$$\vec{K} \times \hat{r}_R = \begin{vmatrix} \hat{x} & \hat{y} & \hat{z} \\ -K_0 r_T' \sin \phi' & K_0 r_T' \cos \phi' & 0 \\ -\frac{r_T' \cos \phi'}{R} & -\frac{r_T' \sin \phi'}{R} & \frac{z}{R} \end{vmatrix} =$$

$$= \hat{x} \left[ K_0 r_T' \cos \phi' \frac{z}{R} \right] - \hat{y} \left[ -K_0 r_T' \sin \phi' \frac{z}{R} \right] + \hat{z} \left[ \frac{K_0 r_T'^2 \sin^2 \phi'}{R} + \frac{K_0 r_T'^2 \cos^2 \phi'}{R} \right]$$

Επομένως,

$$\vec{B} = \frac{\mu_0}{4\pi} \int_{r_T'=0}^a \int_{\phi'=0}^{2\pi} \left\{ \left( K_0 r_T' \cos \phi' \frac{z}{R^3} \right) \hat{x} + \left( K_0 r_T' \sin \phi' \frac{z}{R^3} \right) \hat{y} + \left( \frac{K_0 r_T'^2}{R^3} \right) \hat{z} \right\} r_T' d\phi' dr_T'$$

$$= \frac{\mu_0}{4\pi} \hat{z} \int_{r_T'=0}^a K_0 \frac{r_T'^2}{(r_T'^2 + z^2)^{3/2}} r_T' dr_T' d\phi = \hat{z} \frac{\mu_0}{2} K_0 \int_0^a \frac{r_T'^3}{[r_T'^2 + z^2]^{3/2}} dr_T'$$

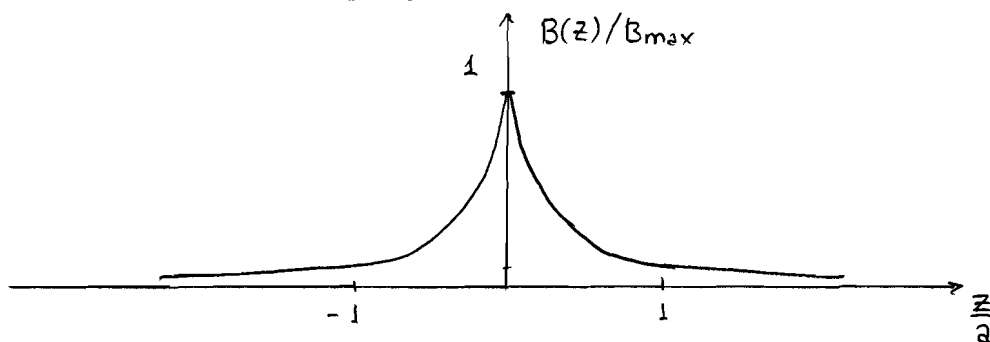
$$= \hat{z} \frac{\mu_0 K_0}{2} \left[ \frac{r_T'^2 + 2z^2}{(r_T'^2 + z^2)^{1/2}} \right]_0^a = \hat{z} \frac{\mu_0 K_0}{2} \left[ \frac{a^2 + 2z^2}{[a^2 + z^2]^{1/2}} - 2|z| \right]$$

(β) Μέγιστη τιμή στο  $z=0 \sim$

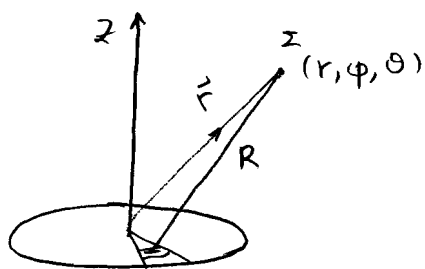
$$\vec{B}_{\max} = \hat{i}_z \frac{\mu_0 K_0}{2} \left[ \frac{a^2}{a} \right] = \hat{i}_z \left( \frac{\mu_0 K_0 a}{2} \right)$$

$$\frac{B(z)}{B_{\max}} = \frac{\frac{\mu_0 K_0}{2} \left[ \frac{a^2 + 2z^2}{(a^2 + z^2)^{1/2}} - 2|z| \right]}{\frac{\mu_0 K_0}{2} a} = \left[ \frac{a^2 + 2z^2}{a^2 [1 + (z/a)^2]^{1/2}} - 2 \left| \frac{z}{a} \right| \right]$$

$$= \frac{1 + 2(z/a)^2}{[1 + (z/a)^2]^{1/2}} - 2 \left| \frac{z}{a} \right|$$



(γ)



$$\vec{A} = \frac{\mu_0}{4\pi} \int \frac{\vec{K} ds'}{R}$$

$$R = [r^2 + r'^2 - 2rr'(\cos\theta\cos\theta' + \sin\theta\sin\theta'\cos(\phi-\phi'))]^{1/2}$$

$$\theta' = \pi/2 \quad r' = r'_T$$

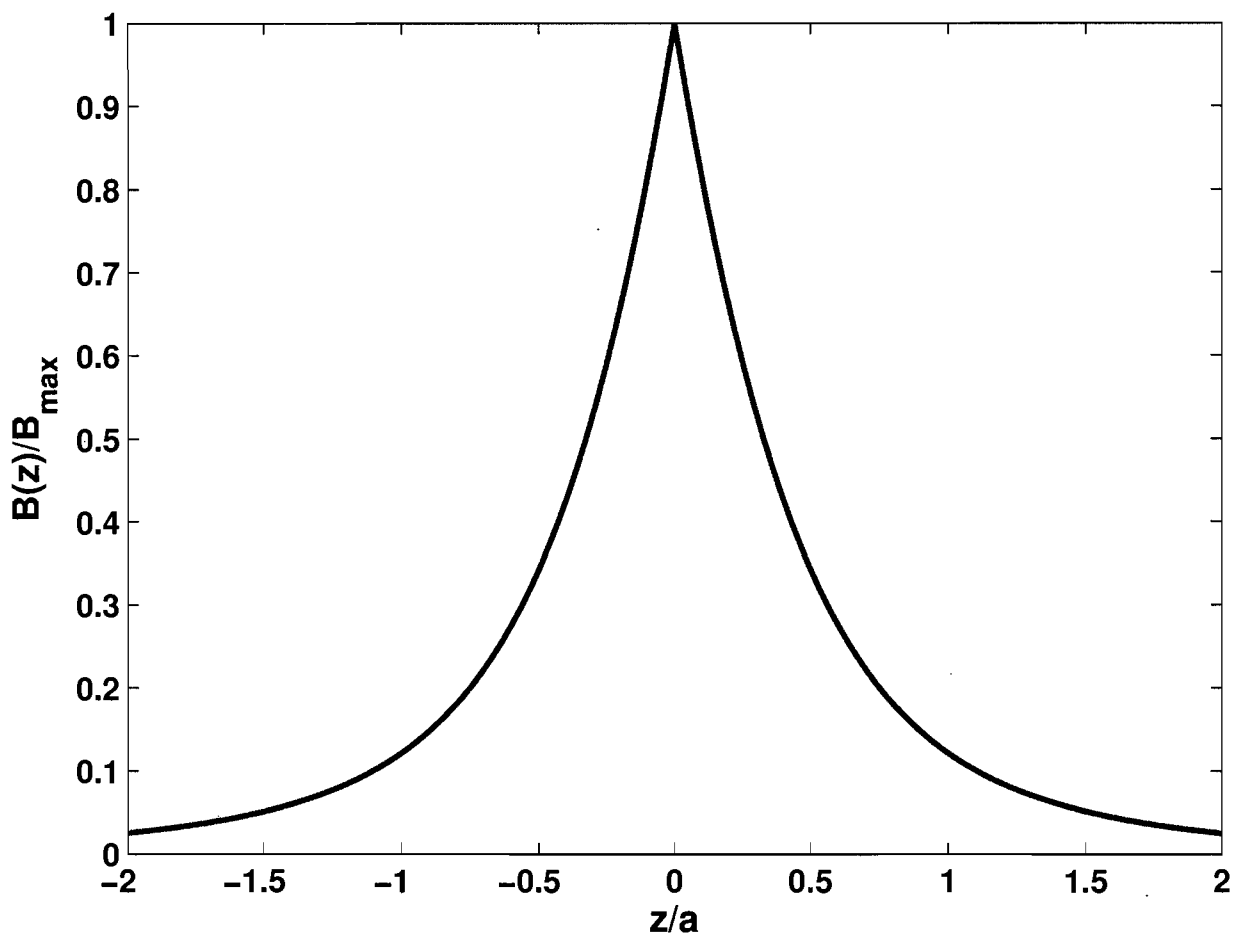
$$R = [r^2 + r_T'^2 - 2rr_T'(\sin\theta\cos(\phi-\phi'))]^{1/2}$$

$$\vec{A} = \frac{\mu_0}{4\pi} \int_{r'_T=0}^a \int_{\phi'=0}^{2\pi} \frac{K_0 r_T' [-\sin\phi' \hat{i}_x + \cos\phi' \hat{i}_y] r_T' dr_T' d\phi'}{[r^2 + r_T'^2 - 2rr_T'\sin\theta\cos(\phi-\phi')]^{1/2}}$$

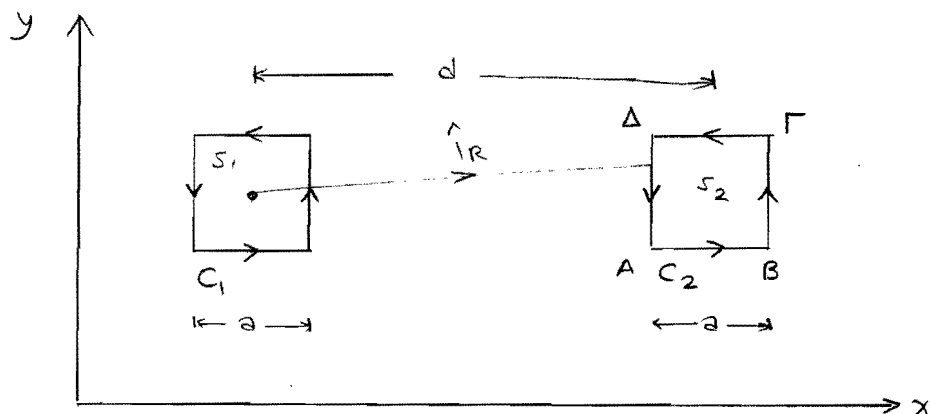
(δ) Πάνω στον άξονα των  $z$ .

$$\theta = 0 \text{ ή } \pi \sim \sin\theta = 0 \sim \vec{A} = \frac{\mu_0}{4\pi} \iint \frac{K_0 r_T'^2 dr_T' (-\sin\phi' \hat{i}_x + \cos\phi' \hat{i}_y) d\phi'}{(r^2 + r_T'^2)^{1/2}}$$

$$= 0$$



# ΑΣΚΗΣΗ 5:

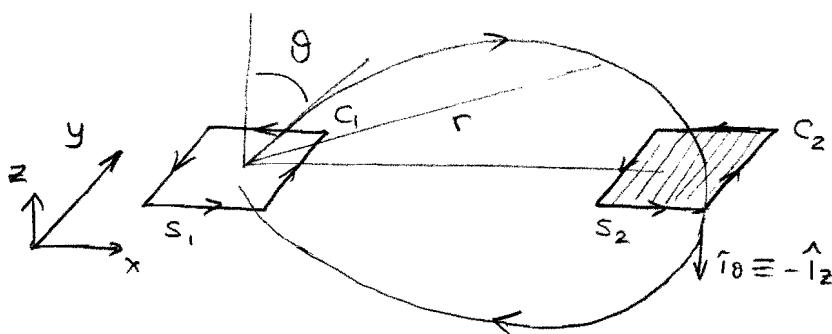


$$L_{21} = \frac{\psi_{21}}{I_1} = L_{12} = \frac{\psi_{12}}{I_2}$$

$$\psi_{21} = \int_{S_2} \vec{B}_1 \cdot d\vec{S}_2 = \oint_{C_2} \vec{A}_1 \cdot d\vec{\ell}_2$$

$$\vec{A}_1 = \frac{\mu_0}{4\pi} \frac{\vec{m}_1 \times \hat{r}}{R^2} \quad \vec{m}_1 = I_1 a^2 \hat{z}$$

$$\vec{B}_1 = \frac{\mu_0 m_1}{4\pi r^3} (2\cos\theta \hat{r} + \sin\theta \hat{\theta})$$



Για τον βρόχο  $C_2$   $\sim \theta = \pi/2$  και επομένως

$$\vec{B}_1 = \frac{\mu_0 m_1}{4\pi r^3} (\sin \frac{\pi}{2} \hat{\theta} (\theta = \pi/2)) = \frac{\mu_0 m_1}{4\pi r^3} (-\hat{z})$$

Εφόσον  $r \gg a$

$$\begin{aligned} \psi_{21} &= \iint \frac{\mu_0 m_1}{4\pi r^3} (-\hat{z}) \cdot dy dx (\hat{z}) = (-1) \frac{\mu_0 m_1}{4\pi} \int_{d-a/2}^{d+a/2} dy \int_{d-a/2}^{d+a/2} \frac{1}{x^3} dx \\ &= (-1) \frac{\mu_0 m_1}{4\pi} a \left( + \frac{x^{-2}}{-2} \right) \Big|_{d-a/2}^{d+a/2} = - \frac{\mu_0 I_1 a^2 a}{4\pi} \left[ \left( -\frac{1}{2} \right) \left( \left( d + \frac{a}{2} \right)^{-2} - \left( d - \frac{a}{2} \right)^{-2} \right) \right] \\ &= - \frac{\mu_0 I_1 a^3}{8\pi} \left[ \frac{1}{(d-a/2)^2} - \frac{1}{(d+a/2)^2} \right] \end{aligned}$$

$$\text{Επομένως } L_{21} = L_{12} = - \frac{\mu_0 a^3}{8\pi} \left[ \frac{1}{(d-a/2)^2} - \frac{1}{(d+a/2)^2} \right]$$

Χρησιμοποιώντας το διανυσματικό δυναμικό:

$$\vec{A}_1 = \frac{\mu_0}{4\pi} m_1 \frac{\hat{L}_z \times \hat{L}_R}{R^2} \quad . \text{ Ομω, } \hat{L}_R \approx \hat{L}_x \quad \frac{1}{R^2} \sim \frac{1}{x^2} \text{ οπότε}$$

$$\oint_{C_2} \vec{A}_1 \cdot d\vec{\ell} = \int_A^B + \int_B^\Gamma + \int_\Gamma^A + \int_A^\Delta$$

$$\vec{A}_1 \approx \frac{\mu_0 m_1}{4\pi} \frac{1}{x^2} \hat{y}$$

$$\int_A^B ( ) \hat{y} \cdot \hat{L}_x dx = \int_\Delta^A ( ) \hat{y} \cdot (-\hat{L}_x) dx = 0$$

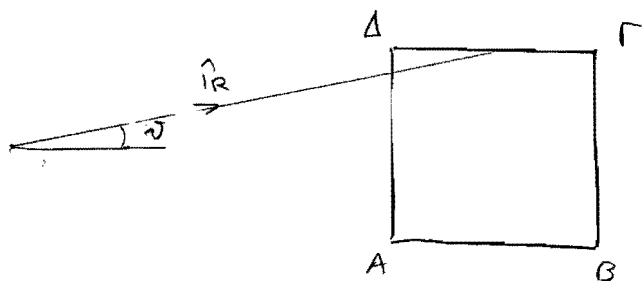
$$\text{Άρα } \oint_{C_2} \vec{A}_1 \cdot d\vec{\ell} = \int_B^\Gamma \vec{A}_1 \cdot d\vec{\ell} + \int_\Delta^A \vec{A}_1 \cdot d\vec{\ell} =$$

$$= \int_B^\Gamma \left. \frac{\mu_0 m_1}{4\pi} \frac{1}{x^2} \hat{y} \cdot \hat{y} dy \right|_{x=d+a/2} + \int_\Delta^A \left. \frac{\mu_0 m_1}{4\pi} \frac{1}{x^2} \hat{y} \cdot (-\hat{y}) dy \right|_{x=d-a/2}$$

$$= \frac{\mu_0 m_1}{4\pi} \frac{1}{(d+a/2)^2} a - \frac{\mu_0 m_1}{4\pi} \frac{1}{(d-a/2)^2} a =$$

$$= - \frac{\mu_0 I_1 a^3}{4\pi} \left[ \frac{1}{(d-a/2)^2} - \frac{1}{(d+a/2)^2} \right]$$

Παρατηρούμε ότι το αποτέλεσμα διαφέρει 100% από την προηγούμενη προσέγγιση με το πεδίο. Θα προσπαθήσουμε να προσεγγίσουμε τα τμήματα AB και BΓ



$$\sin \vartheta \approx \tan \vartheta = \frac{a/2}{x}$$

$$\hat{L}_R = \hat{L}_x \cos \vartheta + \hat{L}_y \sin \vartheta \quad \sim \quad \hat{L}_z \times \hat{L}_R = \hat{L}_y \cos \vartheta - \hat{L}_x \sin \vartheta$$

$$\int_\Gamma \frac{\mu_0 m_1}{4\pi} \frac{1}{x^2} (-\hat{L}_x \sin \vartheta) \cdot (-\hat{L}_x) dx = \frac{\mu_0 m_1}{8\pi} a \left( -\frac{1}{2x^2} \right) \Big|_{d-a/2}^{d+a/2}$$

$$= + \frac{\mu_0 I_1 a^3}{16} \left( \frac{1}{(d-a/2)^2} - \frac{1}{(d+a/2)^2} \right)$$

$$\int_A^B \vec{A}_1 \cdot d\vec{\ell} = \int_A^B \frac{\mu_0 m_1}{4\pi} \frac{1}{x^2} (-\hat{l}_x \sin \vartheta) \cdot \hat{l}_x dx$$

$$\sin \vartheta \approx \frac{-a/2}{x}$$

$$\int_A^B \vec{A}_1 \cdot d\vec{\ell} = \frac{\mu_0 m_1}{4\pi} (a/2) \left[ -\frac{1}{2x^3} \right]_{d-a/2}^{d+a/2} = + \frac{\mu_0 I_1 a^3}{16\pi} \left[ \frac{1}{(d-a/2)^2} - \frac{1}{(d+a/2)^2} \right]$$

Επομένως

$$\oint_{C_2} \vec{A} \cdot d\vec{\ell} = - \frac{\mu_0 I_1 a^3}{8\pi} \left[ \frac{1}{(d-a/2)^2} - \frac{1}{(d+a/2)^2} \right]$$

οποια με την περίπτωση της  $\int_{C_2} \vec{B}_1 \cdot d\vec{\ell}$ .

$$\text{Αρα } L_{12} = L_{21} \approx - \frac{\mu_0 a^3}{8\pi} \left[ \frac{1}{(d-a/2)^2} - \frac{1}{(d+a/2)^2} \right]$$

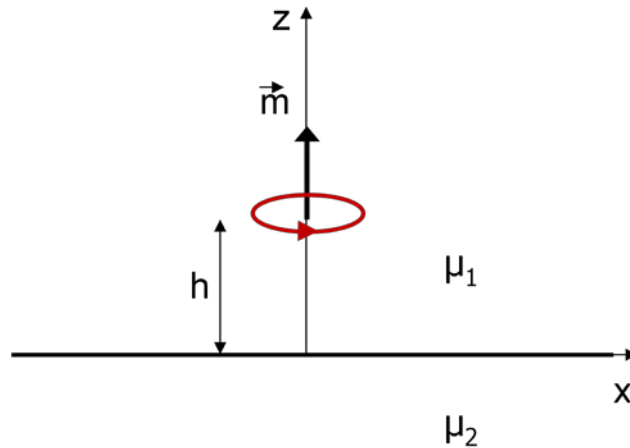
### ΑΣΚΗΣΗ 6:

Ένα μαγνητικό δίπολο (κυκλικός βρόχος με ακτίνα  $a$  και ρεύμα  $I$ ) με μαγνητική ροπή  $\vec{m} = m \hat{z}$ , βρίσκεται σε απόσταση  $h$  από την διαχωριστική επιφάνεια δύο μαγνητικών υλικών με διαπερατότητες  $\mu_1$  και  $\mu_2$  αντίστοιχα όπως φαίνεται στο σχήμα. Η απόσταση  $h$  είναι πολύ μεγαλύτερη από τις διαστάσεις του μαγνητικού δίπολου έτσι ώστε να ισχύει η προσέγγιση του διπολικού πεδίου.

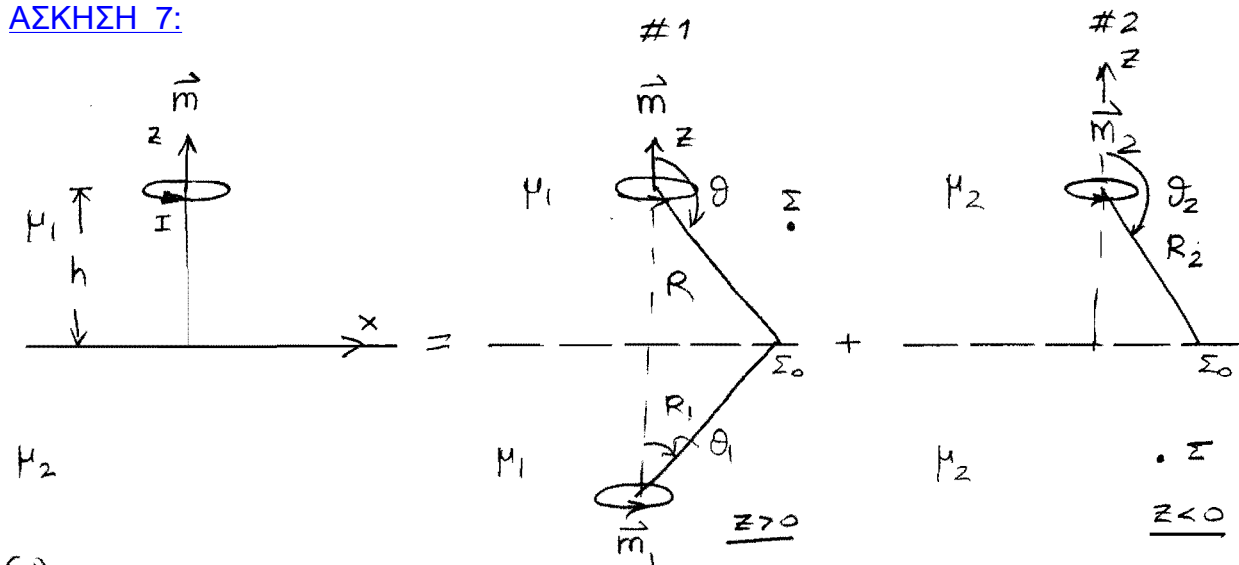
(α) [5%] Να αποδείξετε ότι μπορούμε να χρησιμοποιήσουμε κατοπτρισμό με κατάλληλα επιλεγμένα μαγνητικά δίπολα.

(β) [10%] Να βρεθεί το διανυσματικό δυναμικό στο τυχαίο σημείο του χώρου  $(x, y, z)$  (θεωρώντας ότι για το τυχαίο σημείο ισχύει η προσέγγιση του πεδίου του δίπολου). Να εκφραστεί το διανυσματικό δυναμικό στο καρτεσιανό σύστημα συντεταγμένων.

(γ) [15%] Να γίνει γραφική παράσταση των ισοδυναμικών γραμμών του διανυσματικού δυναμικού στο επίπεδο  $xz$  για  $a = 1\text{m}$ ,  $h = 1\text{m}$ ,  $\mu_1 = 1\mu_0$ ,  $\mu_2 = 100\mu_0$  έστω και αν για αυτά τα αριθμητικά δεδομένα η προσέγγιση του δίπολου να μην είναι απολύτως δικαιολογημένη. Επαναλάβετε αυτό το ερώτημα με την ακριβή λύση για το διανυσματικό δυναμικό.



# ΑΣΚΗΣΗ 7:



(α)

Εφαρμογή κατοπτρισμού. Για το τυχαίο σημείο πάνω στην διαχωριστική επιφάνεια:  $\vec{A}_1 = \vec{A}_2$  και  $B_1 z = B_2 z$

$$\vec{A}_1 = \frac{\mu_1}{4\pi} \frac{\vec{m} \times \hat{r}_R}{R^2} + \frac{\mu_1}{4\pi} \frac{\vec{m}_1 \times \hat{r}_{R_1}}{R_1} \quad R = R_1 = R_2 \text{ πάνω στην διαχωριστική επιφάνεια.}$$

$$\vec{m} = m \hat{z}, \vec{m}_1 = m_1 \hat{z}, \vec{m}_2 = m_2 \hat{z} \text{ (υπόθεση).}$$

$$\hat{r}_R = \frac{x \hat{x} + y \hat{y} - h \hat{z}}{R} \quad R = (x^2 + y^2 + h^2)^{1/2}$$

$$\hat{r}_{R_1} = \frac{x \hat{x} + y \hat{y} + h \hat{z}}{R_1} \quad R_1 = (x^2 + y^2 + h^2)^{1/2}$$

$$\hat{r}_2 = \hat{r}_1$$

$$\vec{A}_1 = \frac{\mu_1}{4\pi} \frac{m \hat{z} \times (x \hat{x} + y \hat{y} - h \hat{z})}{R^3} + \frac{\mu_1}{4\pi} \frac{m_1 \hat{z} \times (x \hat{x} + y \hat{y} + h \hat{z})}{R^3}$$

$$= \frac{\mu_1}{4\pi} \left( m (x \hat{y} - y \hat{x}) \frac{1}{R^3} \right) + \frac{\mu_1}{4\pi} m_1 (x \hat{y} - y \hat{x}) \frac{1}{R^3}$$

$$\vec{A}_2 = \frac{\mu_2}{4\pi} m_2 (x \hat{y} - y \hat{x}) \frac{1}{R^3} \sim \vec{A}_1 = \vec{A}_2 \sim \mu_1 (m + m_1) = \mu_2 m_2 \quad (1)$$

$$\vec{H}_1 = \left( \frac{3(\vec{m} \cdot \hat{r}_R) \hat{r}_R - \vec{m}}{4\pi R^3} + \frac{3(\vec{m}_1 \cdot \hat{r}_{R_1}) \hat{r}_{R_1} - \vec{m}_1}{4\pi R_1^3} \right) =$$

$$\vec{H}_1 \Big|_{\Sigma_0} = \frac{1}{4\pi R^3} \left[ \left\{ 3m \left( \frac{-h}{R} \right) \frac{x \hat{x} + y \hat{y} - h \hat{z}}{R} - m \hat{z} \right\} + 3m_1 \left( \frac{h}{R} \right) \frac{x \hat{x} + y \hat{y} + h \hat{z}}{R} - m_1 \hat{z} \right]$$

$$\vec{m} \cdot \hat{r}_R = m \frac{-h}{R} \quad \vec{m}_1 \cdot \hat{r}_{R_1} = m_1 \frac{h}{R}$$

$$\vec{H}_2 \Big|_{\Sigma_0} = \frac{1}{4\pi R^3} \left[ 3m_2 \left( \frac{-h}{R} \right) \frac{x \hat{x} + y \hat{y} - h \hat{z}}{R} - m_2 \hat{z} \right]$$



$$\vec{H}_{t_1} = \vec{H}_{t_2} \Rightarrow \cancel{3m \left(-\frac{h}{R}\right) \frac{x\hat{i}_x + y\hat{i}_y}{R}} + \cancel{3m_1 \left(\frac{h}{R}\right) \frac{x\hat{i}_x + y\hat{i}_y}{R}} =$$

$$= \cancel{3m_2 \left(-\frac{h}{R}\right) \frac{x\hat{i}_x + y\hat{i}_y}{R}}$$

$$-m + m_1 = -m_2 \quad (2)$$

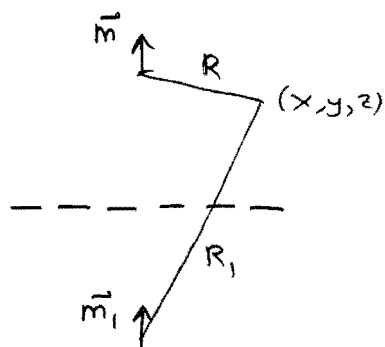
$$\left. \begin{aligned} \mu_1(m+m_1) &= \mu_2 m_2 \\ -m + m_1 &= -m_2 \end{aligned} \right\} \Rightarrow \begin{aligned} m_1 &= \frac{\mu_2 - \mu_1}{\mu_2 + \mu_1} m \\ m_2 &= \frac{2\mu_1}{\mu_2 + \mu_1} m \end{aligned}$$

Επομένως μπορούμε να χρησιμοποιήσουμε κατανταισμό με

$$\vec{m}_1 = \left( \frac{\mu_2 - \mu_1}{\mu_2 + \mu_1} \right) \vec{m}, \quad \vec{m}_2 = \frac{2\mu_1}{\mu_2 + \mu_1} \vec{m}$$

Το διανυσματικό δυναμικό στο τυχαίο σημείο  $\Sigma (x, y, z > 0)$ :

$$(p) \quad \vec{A} = \frac{\mu_1}{4\pi} \left\{ \frac{\vec{m} \times \hat{i}_R}{R^2} + \frac{\vec{m}_1 \times \hat{i}_{R_1}}{R_1^2} \right\}$$



$$R = [x^2 + y^2 + (z-h)^2]^{1/2}$$

$$R_1 = [x^2 + y^2 + (z+h)^2]^{1/2}$$

$$\hat{i}_R = \frac{x\hat{i}_x + y\hat{i}_y + (z-h)\hat{i}_z}{R}$$

$$\hat{i}_{R_1} = \frac{x\hat{i}_x + y\hat{i}_y + (z+h)\hat{i}_z}{R_1}$$

$$m \hat{i}_z \times \hat{i}_R = m \hat{i}_z \times \frac{x\hat{i}_x + y\hat{i}_y + (z-h)\hat{i}_z}{R} =$$

$$= m \frac{\hat{i}_y \times -\hat{i}_x y}{R}$$

$$m_1 \hat{i}_z \times \hat{i}_{R_1} = m_1 \frac{\hat{i}_y \times -\hat{i}_x y}{R_1}$$

$$\vec{A} = \frac{\mu_1}{4\pi} \frac{m(-y\hat{i}_x + x\hat{i}_y)}{[x^2 + y^2 + (z-h)^2]^{3/2}} + \frac{\mu_1}{4\pi} \left( \frac{\mu_2 - \mu_1}{\mu_2 + \mu_1} \right) \frac{m[-y\hat{i}_x + x\hat{i}_y]}{[x^2 + y^2 + (z+h)^2]^{3/2}}$$

( $z > 0$ )

$z < 0$  :

$$\vec{A} = \frac{\mu_2}{4\pi} \frac{\vec{m}_2 \times \hat{r}_2}{R_2^2} = \frac{\mu_2}{4\pi} m_2 \frac{-\hat{l}_x y + x \hat{l}_y}{[x^2 + y^2 + (z-h)^2]^{3/2}}$$

$$m_2 = \frac{2\mu_1}{\mu_2 + \mu_1} m$$

(γ) Για την γραφική παράσταση έχουμε το δυναμικό στο επίπεδο  $xz$  ( $y=0$ ).

$$A_{\varphi 1} = \frac{\mu_1}{4\pi} \frac{m \times \hat{i}_y}{R} + \frac{\mu_1}{4\pi} \frac{m_1 \times \hat{i}_y}{R_1}$$

$$R = [x^2 + (z-h)^2]^{1/2}, \quad R_1 = [x^2 + (z+h)^2]^{1/2}$$

$$m_1 = \frac{\mu_2 - \mu_1}{\mu_2 + \mu_1} m, \quad m = I(\pi a^2) \quad x \hat{i}_y = |x| \hat{i}_\varphi$$

$$A_{\varphi 1} = \frac{\mu_1}{4\pi} m |x| \hat{i}_\varphi \left\{ \frac{1}{R} + \left( \frac{\mu_2 - \mu_1}{\mu_2 + \mu_1} \right) \frac{1}{R_1} \right\} \quad (z \geq 0)$$

όμοια

$$A_{\varphi 2} = \frac{\mu_2}{4\pi} m |x| \hat{i}_\varphi \frac{2\mu_1}{\mu_2 + \mu_1} \frac{1}{R} \quad (z \leq 0)$$

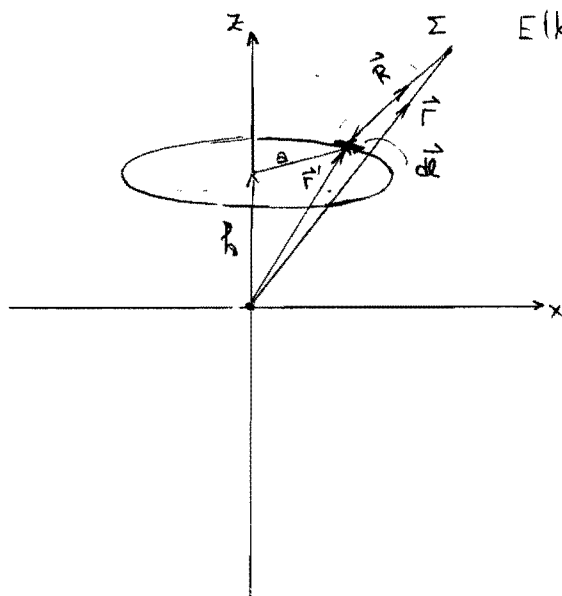
Για την ακριβή λύση θα χρειαστούμε να εφαρμόσουμε τον γενικό τύπο:

$$A_\varphi = \frac{\mu_0 I a}{\pi} \frac{1}{[r^2 + a^2 + 2arsin\theta]^{1/2}} \left\{ \frac{2-k^2}{k^2} K(k) - \frac{2}{k^2} E(k) \right\}$$

$$k^2 = \frac{4arsin\theta}{[r^2 + a^2 + 2arsin\theta]}$$

$$K(k) = \int_0^{\pi/2} \frac{1}{\sqrt{1-k^2 \sin^2 w}} dw$$

$$E(k) = \int_0^{\pi/2} \sqrt{1-k^2 \sin^2 w} dw$$



$$\vec{R} = \vec{r} - \vec{r}'$$

$$d\vec{A} = \hat{i}_\varphi \left( \frac{\mu_0 I}{4\pi} \right) \frac{1}{R} a d\varphi' \cos\varphi'$$

$$\vec{r} = r \sin\theta \hat{i}_x + r \cos\theta \hat{i}_z \quad (x, z \text{ plane})$$

$$\vec{r}' = a \cos\varphi' \hat{i}_x + a \sin\varphi' \hat{i}_y + h \hat{i}_z$$

$$\vec{R} = (r \sin\theta - a \cos\varphi') \hat{i}_x - a \sin\varphi' \hat{i}_y + (r \cos\theta - h) \hat{i}_z \Rightarrow$$

$$R = (r^2 \sin^2\theta + a^2 \cos^2\varphi' - 2ra \sin\theta \cos\varphi' + a^2 \sin^2\varphi' + r^2 \cos^2\theta + h^2 - 2rh \cos\theta)^{1/2}$$

$$\sim R = (r^2 + a^2 + h^2 - 2rh \cos \theta - 2ra \sin \theta \cos \phi')^{1/2}$$

Επομένως

$$A_\varphi = \frac{\mu_0 I a}{\pi} \frac{1}{[r^2 + a^2 + h^2 - 2rh \cos \theta + 2ra \sin \theta]^{1/2}} \left\{ \frac{2-k^2}{k^2} K(k) - \frac{2}{k^2} E(k) \right\}$$

$$k^2 = \frac{4ra \sin \theta}{[r^2 + a^2 + h^2 - 2rh \cos \theta + 2ra \sin \theta]}$$

$$\frac{\mu_0 I a}{\pi} = \frac{\mu_0 (I \pi a^2)}{\pi^2 a} = \frac{\mu_0 m}{\pi^2 a}$$

Εφαρμόζοντας τον κατοπτρισμό για τον βρόχο και το είδαλό του έχουμε:

$$A_{\varphi_1} = \frac{\mu_1 m}{\pi a^2} \frac{1}{[r^2 + a^2 + h^2 - 2rh \cos \theta + 2ra \sin \theta]^{1/2}} \left\{ \frac{2-k^2}{k^2} K(k) - \frac{2}{k^2} E(k) \right\}$$

$$+ \frac{\mu_1 m_1}{\pi a^2} \frac{1}{[r^2 + a^2 + h^2 + 2rh \cos \theta + 2ra \sin \theta]^{1/2}} \left\{ \frac{2-k_1^2}{k_1^2} K(k_1) - \frac{2}{k_1^2} E(k_1) \right\}$$

$$k_1^2 = \frac{4ra \sin \theta}{[r^2 + a^2 + h^2 + 2rh \cos \theta + 2ra \sin \theta]} \quad (z \geq 0)$$

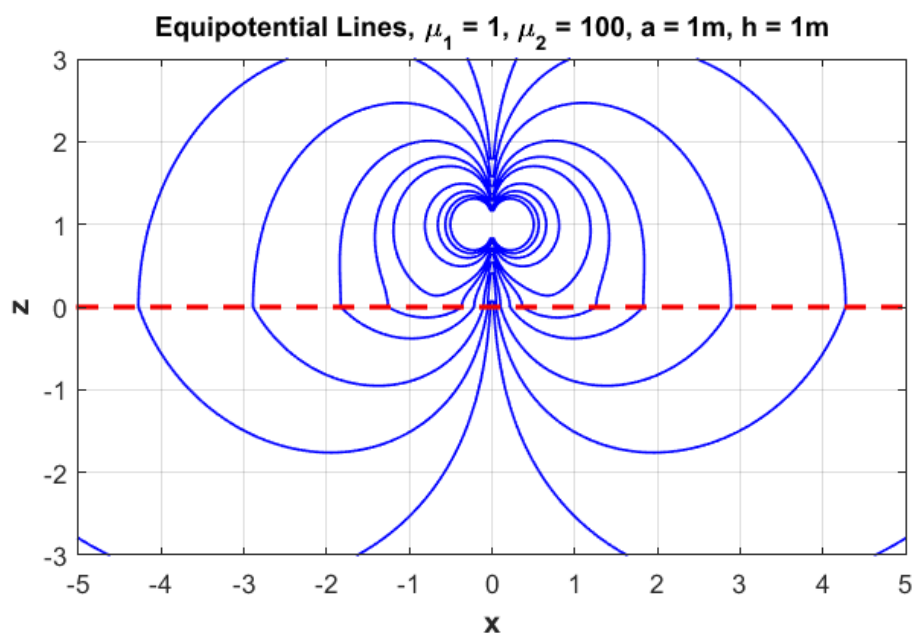
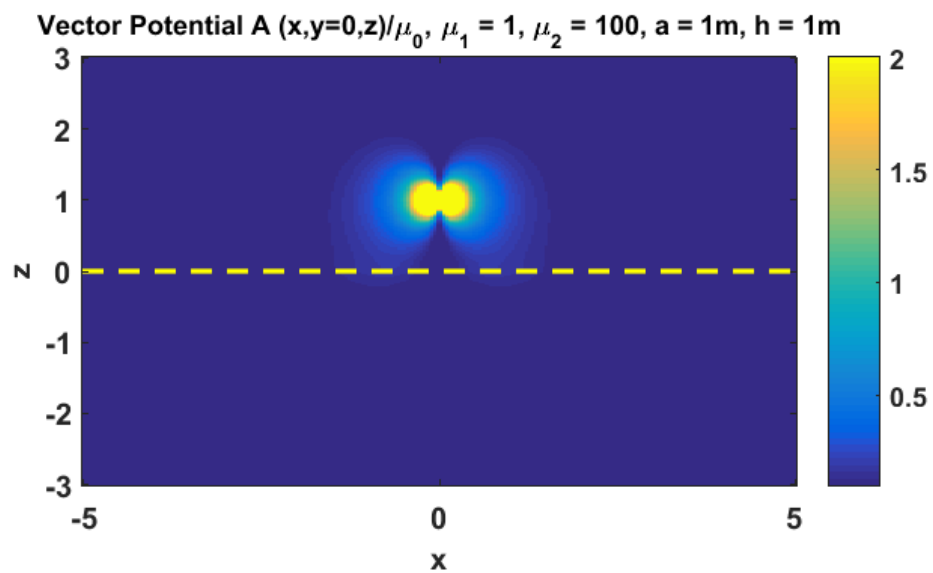
$$A_{\varphi_2} = \frac{\mu_2 m_2}{\pi a^2} \frac{1}{[r^2 + a^2 + h^2 - 2rh \cos \theta + 2ra \sin \theta]^{1/2}} \left\{ \frac{2-k^2}{k^2} K(k) - \frac{2}{k^2} E(k) \right\}$$

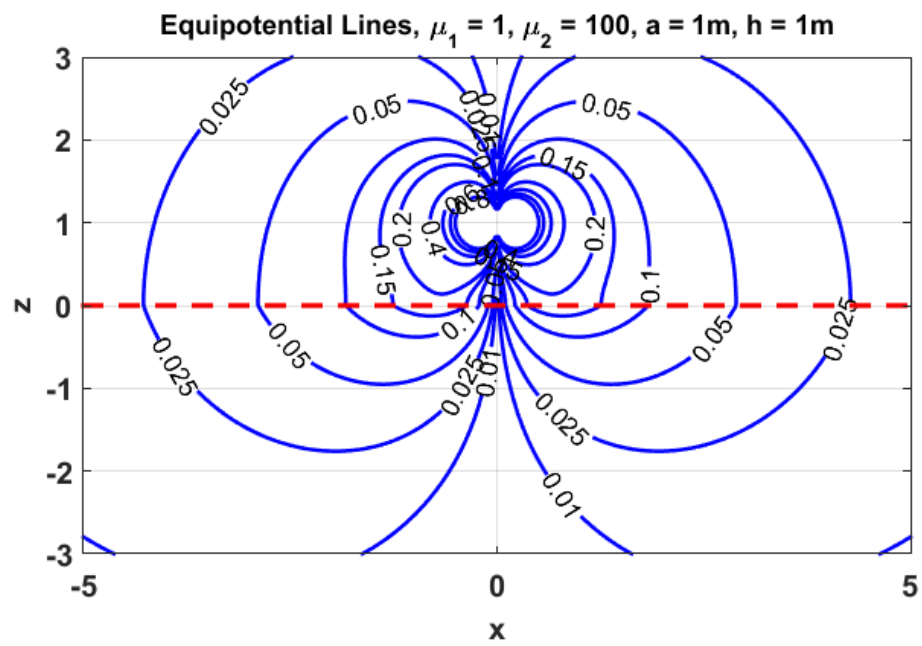
$$z \leq 0$$

$$r = \sqrt{x^2 + z^2}, \quad \sin \theta = \frac{|x|}{r}, \quad \cos \theta = \frac{z}{r}$$

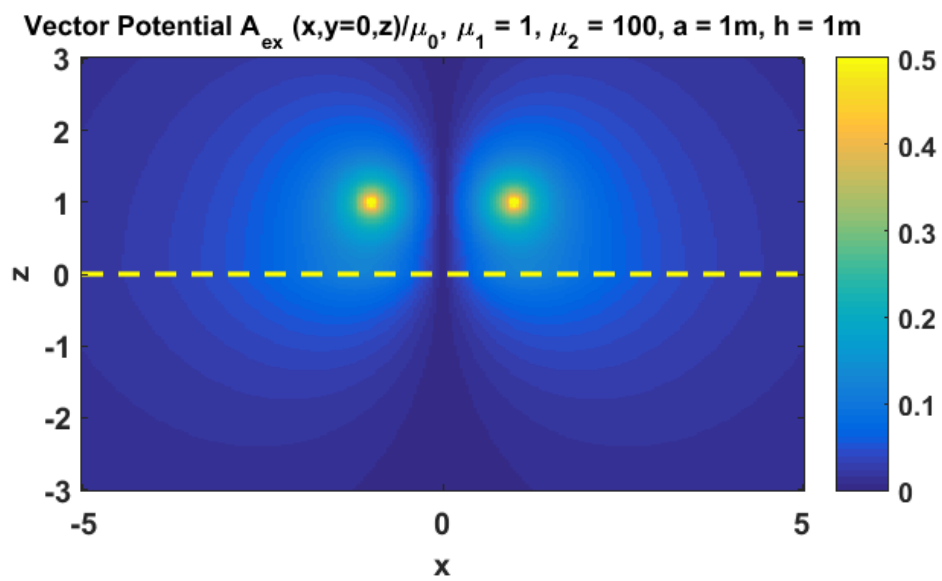
### ΑΣΚΗΣΗ 7: (γ)

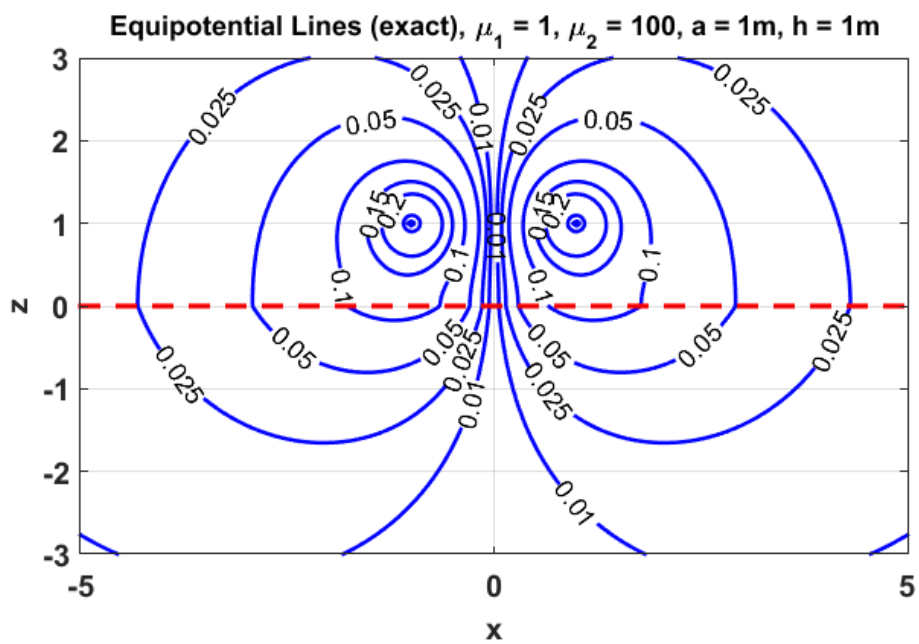
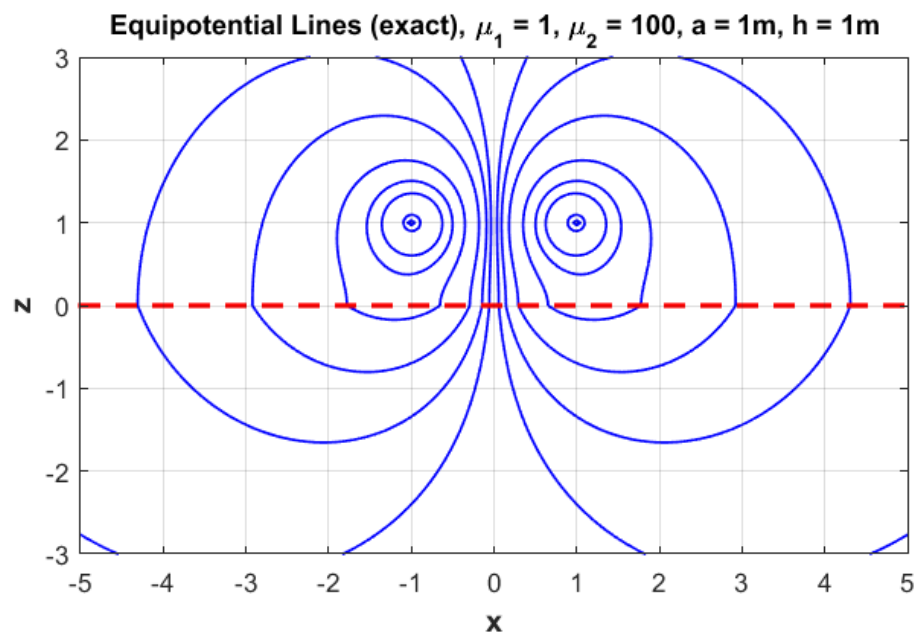
#### Προσέγγιση Μαγνητικού Δίπολου





Ακριβής Λύση





## Άσκηση 7:

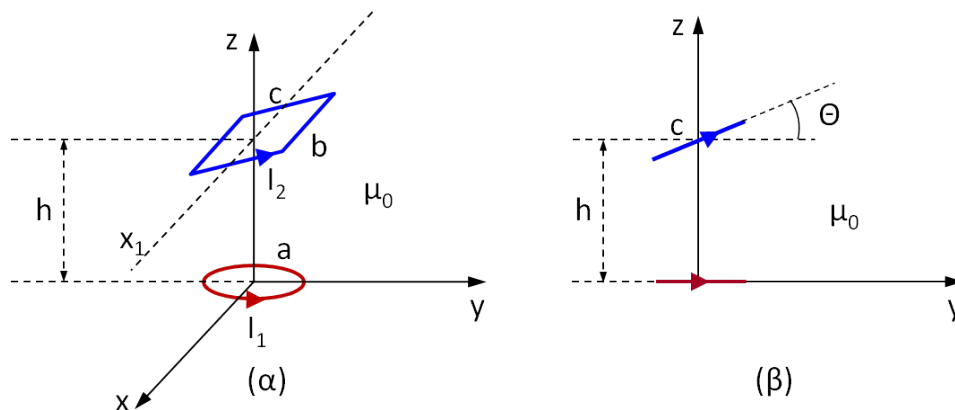
Κυκλικός βρόχος ακτίνας  $a$  διαρρέεται από σταθερό ρεύμα  $I_1$ . Σε κατακόρυφη απόσταση  $h \gg a$  υπάρχει ένας δευτερός ορθογώνιος βρόχος πλευρών  $b, c$  που διαρρέεται από σταθερό ρεύμα  $I_2$ . Ο ορθογώνιος βρόχος έχει το κέντρο του πάνω στον άξονα  $z$  και μπορεί να περιστραφεί γύρω από τον άξονα  $x_1$  (που είναι παράλληλος του  $x$  όπως φαίνεται και στο σχήμα). Για κάποια δεδομένη κατάσταση ο ορθογώνιος βρόχος σχηματίζει γωνία  $\Theta$  με τον άξονα  $y$  όπως φαίνεται στο σχήμα (β). Υποθέσετε ότι ο βρόχος ακτίνας  $a$  πληροί τις προσεγγίσεις του μαγνητικού δίπολου για όλους τους υπολογισμούς που ζητούνται. Ο χώρος έχει παντού διαπερατότητα  $\mu_0$ .

(α) Να υπολογιστεί ο συντελεστής αμοιβαίας επαγωγής  $L_{12}(\Theta)$  μεταξύ των δύο βρόχων.

Τα υπόλοιπα ερωτήματα θα πρέπει να απαντηθούν **αριθμητικά**. Υποθέσετε ότι οι διαστάσεις του προβλήματος είναι  $a = 0.025\text{m}$ ,  $b = 0.25\text{m}$ ,  $c = 0.12\text{m}$ , και  $h = 0.10\text{m}$ .

(β) Να γίνει η γραφική παράσταση του συντελεστού αμοιβαίας επαγωγής  $L_{12}(\Theta)$  σαν συνάρτηση της γωνίας  $\Theta$  για  $0 \leq \Theta \leq 720^\circ$ . Επίσης να υπολογιστεί η παράγωγος  $dL_{12}(\Theta)/d\Theta$  και να γίνει η γραφική της παράσταση σαν συνάρτηση της γωνίας  $\Theta$  για το ίδιο διάστημα τιμών. Συνίσταται η αριθμητική εύρεση της παραγωγών.

(γ) Υποθέσετε ότι το ρεύμα που διαρρέει τον κυκλικό βρόχο είναι  $I_1 = 20\text{A}$ , και ότι ο ορθογώνιος βρόχος αποτελείται από  $N = 100$  σπείρες (μονωμένες, από λεπτό αγωγό ώστε να μην αλλάζει η γεωμετρία του σχήματος). Επιπλέον ο ορθογώνιος βρόχος περιστρέφεται με σταθερή γωνιακή ταχύτητα με συχνότητα  $f = 30\text{Hz}$ . Να υπολογιστεί η αναπτυσσόμενη ηλεκτρεγερτική δύναμη (emf),  $e(t)$ , στον ορθογώνιο βρόχο σαν συνάρτηση του χρόνου  $t$  και να γίνει η γραφική της παράσταση σε διάστημα 5 χρονικών περιόδων. Να βρεθεί (συνίσταται η χρήση FFT της MatLab) ο μετασχηματισμός Fourier  $E(f)$  της  $e(t)$  και να γίνει η γραφική παράσταση του  $|E(f)|^2$  σαν συνάρτηση της συχνότητας  $f$ . Τι παρατηρείται; Να βρεθεί προσεγγιστικά η σειρά Fourier που προσεγγίζει την επαγόμενη  $e(t)$  (εδώ προτείνεται η χρήση της συνάρτησης *fit* της MatLab αν και ίσως βρείτε καλύτερους τρόπους). Να επαναληφθούν τα (β) και (γ) όταν μεταβληθεί το ύψος  $h$  σε  $h = 0.20\text{m}$ .

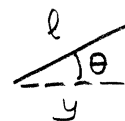
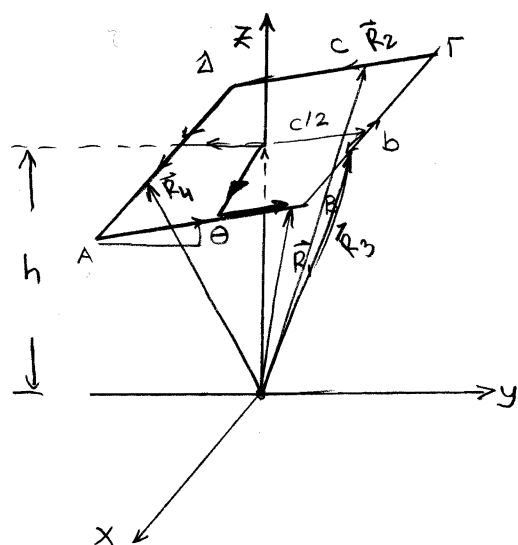
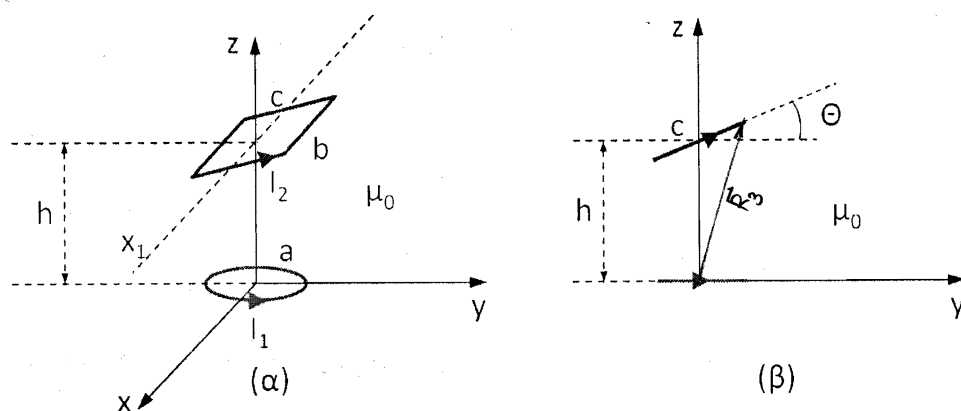


$$\int \frac{dx}{[x^2 + (A + Bx)^2 + C^2]^{3/2}} = \frac{AB + x + B^2x}{[A^2 + C^2 + B^2C^2][A^2 + C^2 + 2ABx + x^2 + B^2x^2]^{1/2}},$$

$$\int \frac{dx}{(x^2 + A^2)^{3/2}} = \frac{x}{A^2(x^2 + A^2)^{1/2}}$$



# ΑΣΚΗΣΗ 7:



$$y = l \cos \theta$$

$$l = \frac{y}{\cos \theta}$$

$$\Psi_{21} = \oint_C \vec{A}_1 \cdot d\vec{\ell}_2 = \left( \int_A^B + \int_B^C + \int_C^D + \int_D^A \vec{A}_1 \cdot d\vec{\ell}_2 \right)$$

$$\vec{A}_1 = \frac{\mu_0 \vec{m}_1 \times \hat{r}}{4\pi R^2}$$

$$\vec{m}_1 = m_1 \hat{z} \quad m_1 = \pi a^2 I_1$$

$$\int_A^B \vec{A}_1 \cdot d\vec{\ell}_2 = ?$$

$$\vec{R}_1 = h \hat{z} + \frac{b}{2} \hat{x} + l(y) [\hat{y} \cos \theta + \hat{z} \sin \theta]$$

$$= h \hat{z} + \frac{b}{2} \hat{x} + y [\hat{y} + \tan \theta \hat{z}]$$

$$= (h + y \tan \theta) \hat{z} + \frac{b}{2} \hat{x} + y \hat{y}$$

$$d\vec{\ell}_2 = dl [\cos \theta \hat{y} + \sin \theta \hat{z}] = dy [\hat{y} + \tan \theta \hat{z}]$$

$$\hat{r}_{R_1} = \frac{\vec{R}_1}{R_1}, \quad R_1 = \left[ \left( \frac{b}{2} \right)^2 + y^2 + (h + y \tan \theta)^2 \right]^{1/2}$$

$$\hat{z} \times \hat{r}_{R_1} = \hat{z} \times \left[ (h + y \tan \theta) \hat{z} + \frac{b}{2} \hat{x} + y \hat{y} \right] \frac{1}{R_1} = \left( \hat{y} \frac{b}{2} - \hat{x} y \right) \frac{1}{R_1}$$

Επομένως,

$$\begin{aligned}
 \int_A^B \vec{A}_1 \cdot d\vec{l}_2 &= \frac{\mu_0}{4\pi} m_1 \int_{-\frac{C}{2}\cos\theta}^{\frac{C}{2}\cos\theta} \frac{1}{R_1^3} [\hat{l}_y \frac{b}{2} - \hat{l}_x y] \cdot dy [\hat{l}_y + \tan\theta \hat{l}_z] = \\
 &= \frac{\mu_0 m_1}{4\pi} \frac{b}{2} \int_{-\frac{C}{2}\cos\theta}^{\frac{C}{2}\cos\theta} \frac{dy}{[y^2 + (h + y \tan\theta)^2 + (\frac{b}{2})^2]^{3/2}} \\
 &= \frac{\mu_0 m_1}{4\pi} \frac{b}{2} \left[ \frac{h \tan\theta + y(1 + \tan^2\theta)}{[h^2 + (\frac{b}{2})^2 + \tan^2\theta(\frac{b}{2})^2] [h^2 + (\frac{b}{2})^2 + 2h \tan\theta y + (1 + \tan^2\theta)y^2]^{1/2}} \right] \\
 &= \frac{\mu_0 \pi a^2 I_1}{4\pi} \frac{b}{2} \left\{ \frac{1}{[h^2 + (\frac{b}{2})^2 (1 + \tan^2\theta)]} \right\} \left\{ \frac{h \tan\theta + \frac{C}{2} \cos\theta (1 + \tan^2\theta)}{[h^2 + (\frac{b}{2})^2 + (1 + \tan^2\theta)(\frac{C}{2})^2 \cos^2\theta + 2h \sin\theta \frac{C}{2}]^{1/2}} \right. \\
 &\quad \left. - \frac{h \tan\theta - \frac{C}{2} \cos\theta (1 + \tan^2\theta)}{[h^2 + (\frac{b}{2})^2 + (\frac{C}{2})^2 - h C \sin\theta]^{1/2}} \right\}
 \end{aligned}$$

$$\int_A^B = \frac{\mu_0 \pi a^2 I_1}{4\pi} \frac{b}{2} \frac{1}{h^2 + (\frac{b}{2})^2 (1 + \tan^2\theta)} \left\{ \frac{h \tan\theta + \frac{C}{2} \cos\theta (1 + \tan^2\theta)}{[h^2 + (\frac{b}{2})^2 + (\frac{C}{2})^2 + h C \sin\theta]^{1/2}} - \frac{h \tan\theta - \frac{C}{2} \cos\theta (1 + \tan^2\theta)}{[h^2 + (\frac{b}{2})^2 + (\frac{C}{2})^2 - h C \sin\theta]^{1/2}} \right\}$$

$$\int_{\Gamma}^{\Delta} \vec{A}_1 \cdot d\vec{l}_2 = \frac{\mu_0}{4\pi} m_1 \int_{\frac{C}{2}\cos\theta}^{-\frac{C}{2}\cos\theta} \frac{\hat{l}_z \times \hat{l}_{R2}}{R_2^2} \cdot dy [\hat{l}_y + \tan\theta \hat{l}_z]$$

$$\vec{R}_2 = h \hat{l}_z - \frac{b}{2} \hat{l}_x + y (\hat{l}_y + \tan\theta \hat{l}_z)$$

και επομένως, καταλήγουμε στο ίδιο αποτέλεσμα με την

$$\int_A^B \vec{A}_1 \cdot d\vec{l}_2 = \int_{\Gamma}^{\Delta} \vec{A}_1 \cdot d\vec{l}_2$$

$$\int_B \vec{A}_1 \cdot d\vec{\ell}_2 = \frac{\mu_0 m_1}{4\pi} \int \frac{\hat{l}_z \times \hat{r}_3}{R_3^2} \cdot (dx \hat{i}_x)$$

$$\vec{r}_3 = h\hat{i}_z + \frac{c}{2}(\hat{i}_y \cos\theta + \hat{i}_z \sin\theta) + x\hat{i}_x$$

$$\hat{r}_3 = \left[ (h + \frac{c}{2} \sin\theta) \hat{i}_z + \frac{c}{2} \cos\theta \hat{i}_y + x \hat{i}_x \right] \frac{1}{R_3}$$

$$R_3 = \left[ (h + \frac{c}{2} \sin\theta)^2 + (\frac{c}{2})^2 \sin^2\theta + x^2 \right]^{1/2} = \left[ x^2 + (\frac{c}{2})^2 + h^2 + hc \sin\theta \right]^{1/2}$$

$$\hat{l}_z \times \hat{r}_3 = (-\frac{c}{2} \cos\theta \hat{i}_x + x \hat{i}_y)$$

$$\int_B \vec{A}_1 \cdot d\vec{\ell}_2 = \frac{\mu_0 m_1}{4\pi} \int_{-b/2}^{b/2} \left(-\frac{c}{2}\right) dx \frac{\cos\theta}{[x^2 + h^2 + (\frac{c}{2})^2 + hc \sin\theta]^{3/2}}$$

$$= \cos\theta \frac{\mu_0 m_1}{4\pi} \left(-\frac{c}{2}\right) \left[ \frac{x}{[h^2 + (\frac{c}{2})^2 + hc \sin\theta] \sqrt{x^2 + h^2 + (\frac{c}{2})^2 + hc \sin\theta}} \right]_{-b/2}^{b/2}$$

$$= \cos\theta \frac{\mu_0 m_1}{4\pi} \frac{c}{2} \cdot 2 \cdot \frac{b}{2} \frac{1}{h^2 + (\frac{c}{2})^2 + hc \sin\theta} \frac{1}{[ (\frac{b}{2})^2 + h^2 + (\frac{c}{2})^2 + hc \sin\theta ]^{1/2}}$$

Opala

$$\int_A \vec{A}_1 \cdot d\vec{\ell}_2 =$$

$$L_{12} = L_{21} = \frac{\psi_{21}}{I_1} \geq 0 \quad L_{12}(\theta=0) > 0, \quad L_{12}(\theta=90^\circ) = 0.$$

Opoula gia to  $\int_{\Delta}^A \vec{A}_1 \cdot d\vec{\ell}_2$

$$\vec{R}_4 = h\hat{z} + \frac{c}{2} [-\hat{y} \cos \theta - \hat{z} \sin \theta] + x\hat{x}$$

$$= x\hat{x} - \frac{c}{2} \cos \theta \hat{y} + (h - \frac{c}{2} \sin \theta) \hat{z}$$

$$R_4 = |\vec{R}_4| = \left[ x^2 + \left( \frac{c}{2} \cos \theta \right)^2 + \left( h - \frac{c}{2} \sin \theta \right)^2 \right]^{1/2} = \left[ x^2 + h^2 + \left( \frac{c}{2} \right)^2 - hc \sin \theta \right]^{1/2}$$

$$\hat{L}_{R_4} = \frac{\vec{R}_4}{R_4}$$

$$\hat{z} \times \hat{L}_{R_4} = x\hat{y} + \frac{c}{2} \cos \theta \hat{x}$$

$$\int_{\Delta}^A \vec{A}_1 \cdot d\vec{\ell}_2 = \frac{\mu_0 m_1}{4\pi} \int_{-b/2}^{b/2} \frac{c}{2} \cos \theta dx \frac{1}{[x^2 + h^2 + (\frac{c}{2})^2 - hc \sin \theta]^{3/2}}$$

$$= \frac{\mu_0 m_1}{4\pi} \frac{c}{2} \cos \theta \left[ \frac{x}{[h^2 + (\frac{c}{2})^2 - hc \sin \theta] [x^2 + h^2 + (\frac{c}{2})^2 - hc \sin \theta]^{1/2}} \right]_{-b/2}^{b/2}$$

$$= \cos \theta \frac{\mu_0 m_1}{4\pi} \frac{c}{2} 2 \frac{b}{2} \frac{1}{[h^2 + (\frac{c}{2})^2 - hc \sin \theta] [h^2 + (\frac{b}{2})^2 + (\frac{c}{2})^2 - hc \sin \theta]^{1/2}}$$

'Apa

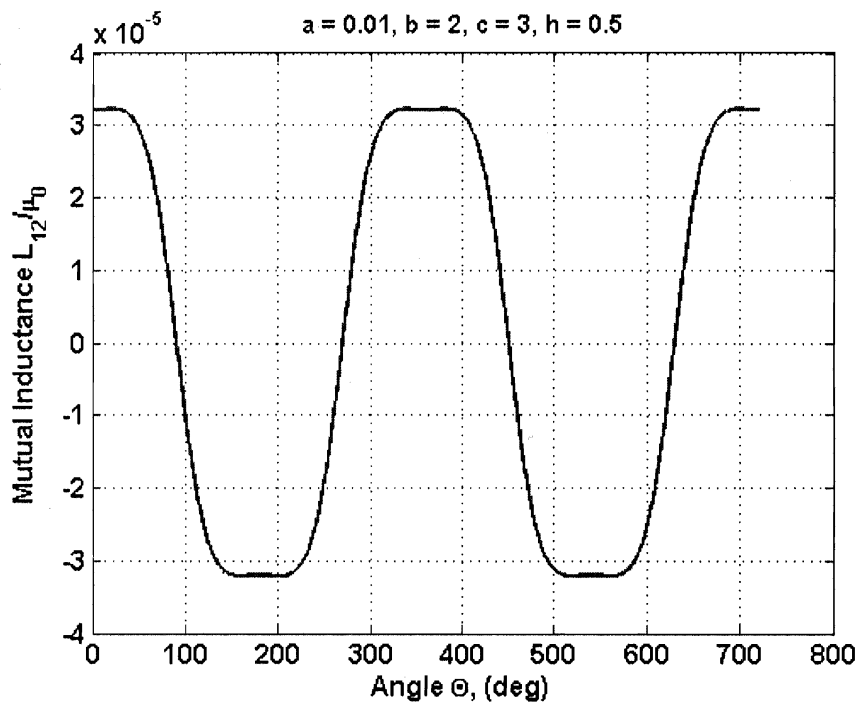
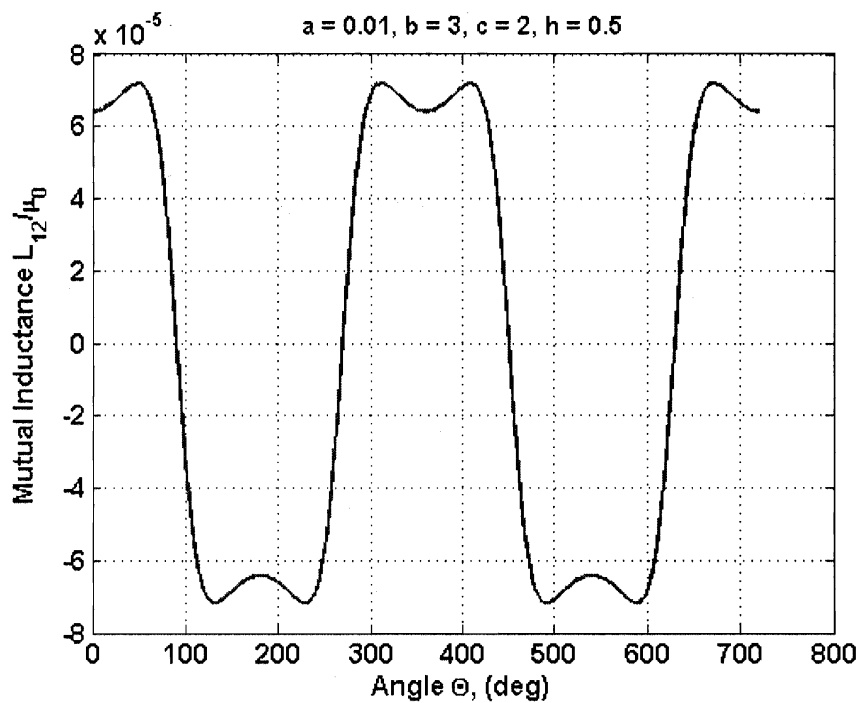
$$\Psi_{21} = \frac{\mu_0 \pi a^2 I_1}{4\pi} \left\{ \frac{b}{h^2 + (b/2)^2 [1 + \tan^2 \theta]} \frac{h \tan \theta + \frac{c}{2} \cos \theta (1 + \tan^2 \theta)}{[h^2 + (\frac{b}{2})^2 + (\frac{c}{2})^2 + hc \sin \theta]^{1/2}} \right.$$

$$\left. - \frac{h \tan \theta - \frac{c}{2} \cos \theta (1 + \tan^2 \theta)}{[h^2 + (\frac{b}{2})^2 + (\frac{c}{2})^2 - hc \sin \theta]^{1/2}} + \right.$$

$$\frac{cb}{2} \frac{\cos \theta}{[h^2 + (\frac{c}{2})^2 + hc \sin \theta] [h^2 + (b/2)^2 + (\frac{c}{2})^2 + hc \sin \theta]^{1/2}} +$$

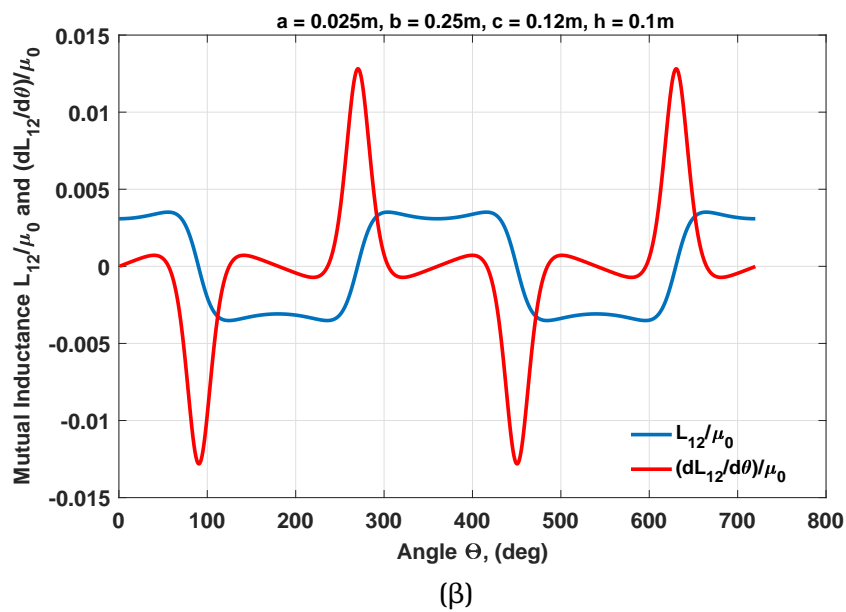
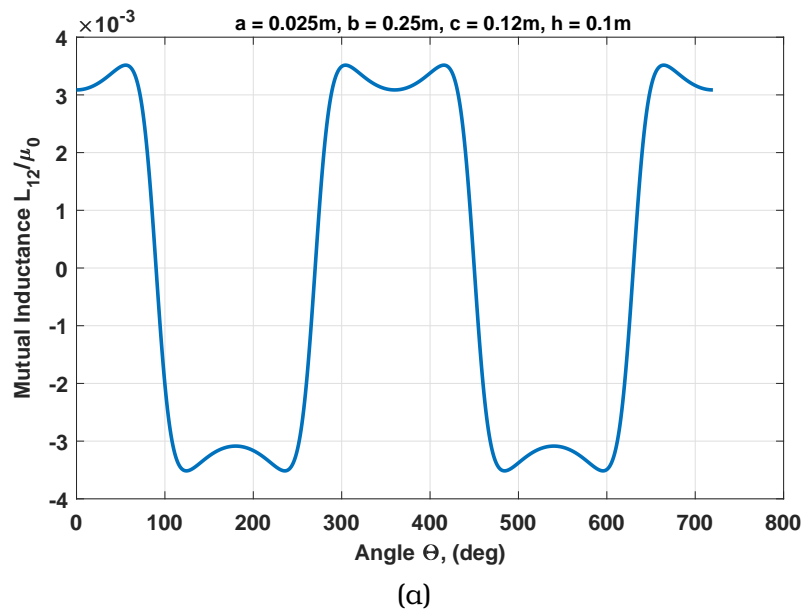
$$\frac{cb}{2} \frac{\cos \theta}{[h^2 + (\frac{c}{2})^2 - hc \sin \theta] [h^2 + (\frac{b}{2})^2 + (\frac{c}{2})^2 - hc \sin \theta]^{1/2}} \left. \right\}$$

$$L_{12} = L_{21} = \frac{\mu_0 a^2}{4} \left\{ \frac{b \cos \theta}{h^2 \cos^2 \theta + (b/2)^2} \left[ \frac{h \sin \theta + c/2}{[h^2 + (b/2)^2 + (c/2)^2 + h c \sin \theta]^{1/2}} - \frac{h \sin \theta - c/2}{[h^2 + (b/2)^2 + (c/2)^2 - h c \sin \theta]^{1/2}} \right] \right. \\ \left. + \frac{c b}{2} \cos \theta \left[ \frac{1}{h^2 + (c/2)^2 + h c \sin \theta} \frac{1}{[h^2 + (b/2)^2 + (c/2)^2 + h c \sin \theta]^{1/2}} + \frac{1}{[h^2 + (c/2)^2 - h c \sin \theta]^{1/2}} \frac{1}{[h^2 + (b/2)^2 + (c/2)^2 - h c \sin \theta]^{1/2}} \right] \right\}$$



## Αμοιβαία Επαγωγή των Δύο Βρόχων - Άσκηση 6(β)

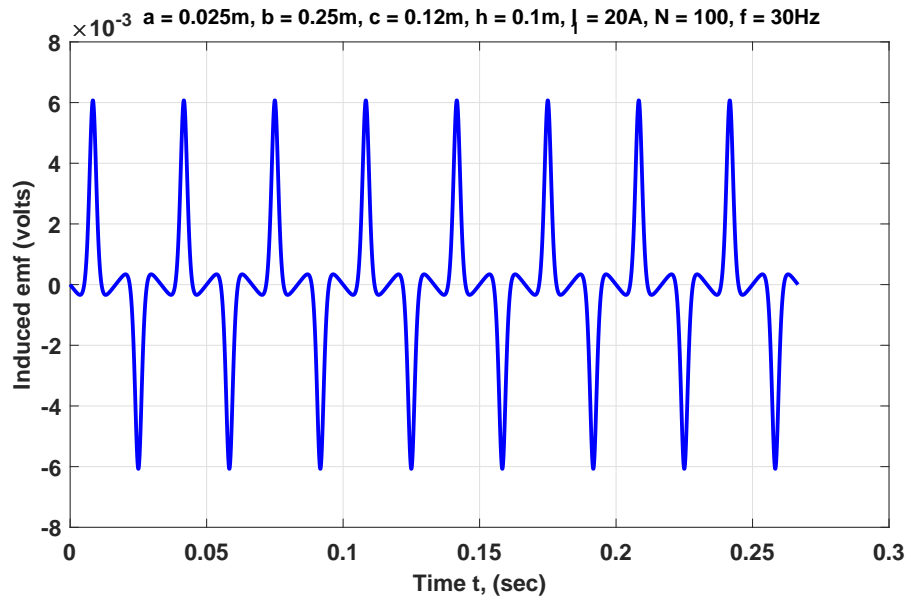
$$a = 0.025 \text{ m}, b = 0.25 \text{ m}, c = 0.12 \text{ m}, h = 0.10 \text{ m}$$



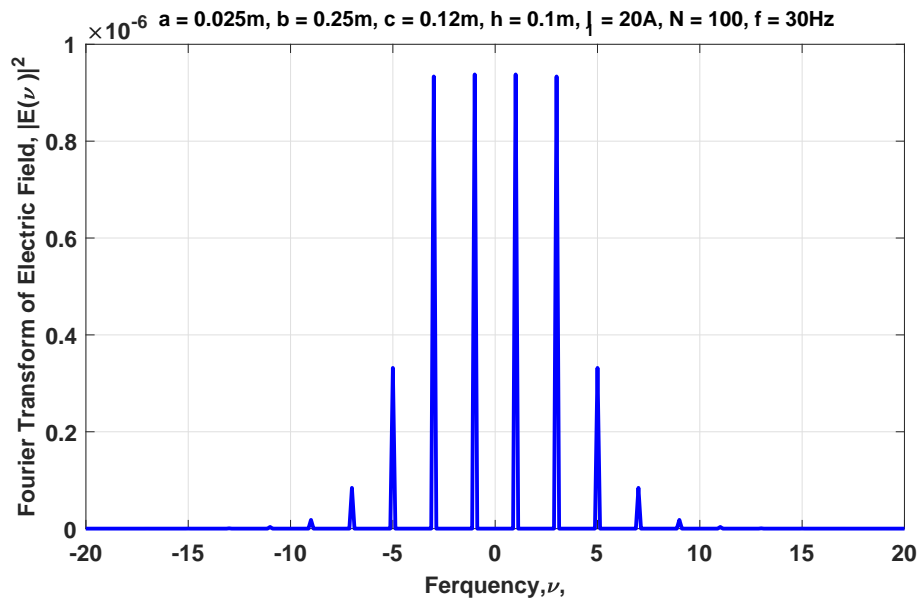
**Σχήμα 1:** (α) Συντελεστής αμοιβαίας επαγωγής κανονικοποιημένος με το  $\mu_0$ ,  $L_{12}(\Theta)/\mu_0$ . (β) Παράγωγος ως προς  $\Theta$  του συντελεστή αμοιβαίας επαγωγής  $[dL_{12}(\Theta)/d\Theta]/\mu_0$ . ( $a = 0.025 \text{ m}$ ,  $b = 0.25 \text{ m}$ ,  $c = 0.12 \text{ m}$ ,  $h = 0.10 \text{ m}$ )

## Επαγόμενη Ηλεκτρεγερτική Δύναμη - Άσκηση 6(γ)

$$a = 0.025 \mu, b = 0.25 \mu, c = 0.12 \mu, h = 0.10 \mu$$



(α)



(β)

**Σχήμα 2:** (α) Επαγόμενη ηλεκτρεγερτική δύναμη,  $e(t)$  σαν συνάρτηση του χρόνου για 5 χρονικές περιόδους. (β) Μετασχηματισμός *Fourier* της  $e(t)$ . Το  $|E(f)|^2$  παρουσιάζεται σαν συνάρτηση της συχνότητας. Παρατηρούμε μόνο τις περιττές αρμονικές όπως και αναμένεται από την περιττή συμμετρία του  $e(t)$  που φαίνεται στο (α) ( $a = 0.025 \text{ m}$ ,  $b = 0.25 \text{ m}$ ,  $c = 0.12 \text{ m}$ ,  $h = 0.10 \text{ m}$ )

Η επαγόμενη ηλεκτρεγερτική δύναμη,  $emf = e(t)$  δίνεται από τον νόμο του Lenz

$$\begin{aligned}
emf = e(t) &= -\frac{d\Lambda_{12}}{dt} = -N\frac{d\Psi_{12}}{dt} = -NI_1\frac{dL_{12}}{dt} \\
&= -NI_1\frac{dL_{12}}{d\theta}\frac{d\theta}{dt} = -NI_12\pi f\frac{dL_{12}}{d\theta}.
\end{aligned}$$

Από το Σχήμα 2α φαίνεται ότι η επαγόμενη  $emf$  είναι μικρή (σε  $mV$ ) και είναι περιττή περιοδική συνάρτηση. Επομένως ο μετασχηματισμός Fourier  $E(f)$  αναμένεται να έχει μόνο περιττές αρμονικές όπως και είναι εμφανές στο Σχήμα 2β. Οι αρμονικές αυτές θα τείνουν σε διακριτές συναρτήσεις  $\delta(f)$  όσο το χρονικό παράθυρο μεγαλώνει. Εδώ χρησιμοποιήθηκαν 5 χρονικές περίοδοι  $t_{total} = 5T = 5/f$ . Η αντίστοιχη σειρά Fourier δίδεται κατωτέρω και ευρέθηκε με την χρήση της συνάρτησης *fit* της MatLab.

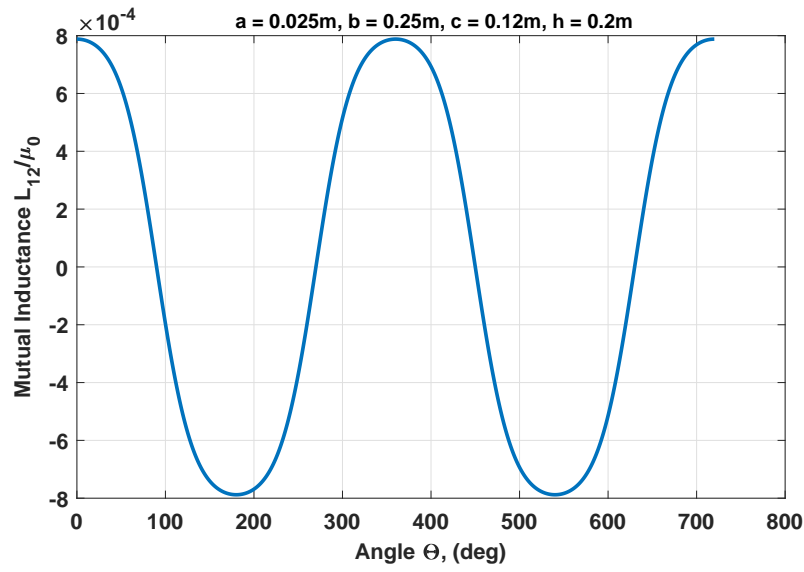
Συντελεστές FOURIER

$$\begin{aligned}
e(t) \simeq & 0.001937 \sin(\omega_0 t) - 0.001932 \sin(3\omega_0 t) + \\
& 0.001152 \sin(5\omega_0 t) - 0.0005802 \sin(7\omega_0 t),
\end{aligned}$$

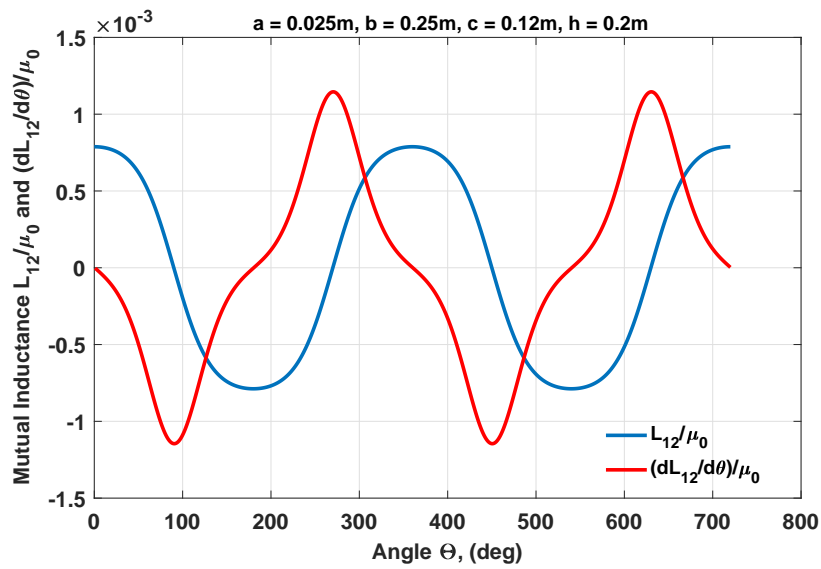
όπου  $e(t)$  (*Volts*), και  $\omega_0 = 2\pi f$  με  $f = 30 \text{ Hz}$ ,  $N = 100$  σπείρες,  $I_1 = 20 \text{ A}$ , και  $a = 0.025 \text{ m}$ ,  $b = 0.25 \text{ m}$ ,  $c = 0.12 \text{ m}$ ,  $h = 0.10 \text{ m}$ .



$$a = 0.025 \text{ m}, b = 0.25 \text{ m}, c = 0.12 \text{ m}, h = 0.20 \text{ m}$$



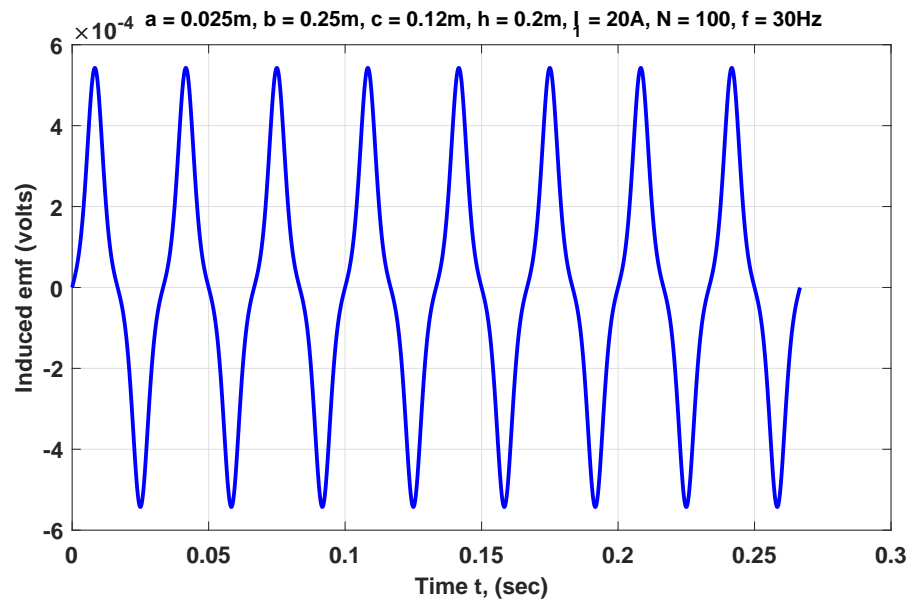
(α)



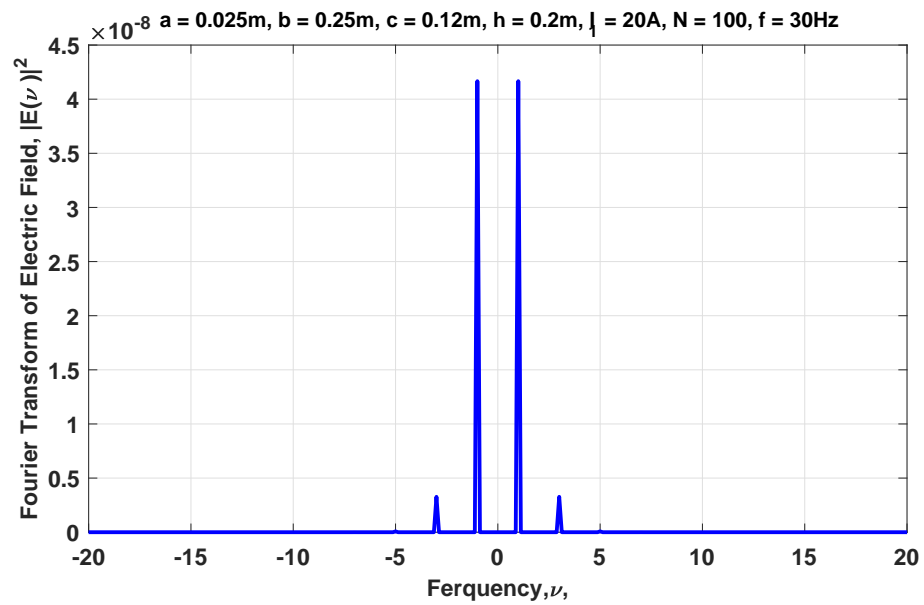
(β)

**Σχήμα 3:** (α) Συντελεστής αμοιβαίας επαγωγής κανονικοποιημένος με το  $\mu_0$ ,  $L_{12}(\Theta)/\mu_0$ . (β) Παράγωγος ως προς  $\Theta$  του συντελεστή αμοιβαίας επαγωγής  $[dL_{12}(\Theta)/d\Theta]/\mu_0$ . ( $a = 0.025 \text{ m}$ ,  $b = 0.25 \text{ m}$ ,  $c = 0.12 \text{ m}$ ,  $h = 0.20 \text{ m}$ )

$$a = 0.025 \text{ m}, b = 0.25 \text{ m}, c = 0.12 \text{ m}, h = 0.20 \text{ m}$$



(α)



(β)

**Σχήμα 4:** (α) Επαγόμενη ηλεκτρεγερτική δύναμη,  $e(t)$  σαν συνάρτηση του χρόνου για 5 χρονικές περιόδους. (β) Μετασχηματισμός *Fourier* της  $e(t)$ . Το  $|E(f)|^2$  παρουσιάζεται σαν συνάρτηση της συχνότητας. Παρατηρούμε μόνο τις περιττές αρμονικές όπως και αναμένεται από την περιττή συμμετρία του  $e(t)$  που φαίνεται στο (α) ( $a = 0.025 \text{ m}$ ,  $b = 0.25 \text{ m}$ ,  $c = 0.12 \text{ m}$ ,  $h = 0.20 \text{ m}$ )

## Συντελεστές FOURIER

$$e(t) \simeq 0.0004082 \sin(\omega_0 t) - 0.0001143 \sin(3\omega_0 t) + \\ 1.759 \times 10^{-5} \sin(5\omega_0 t) - 2.241 \times 10^{-6} \sin(7\omega_0 t),$$

όπου  $e(t)$  (Volts), και  $\omega_0 = 2\pi f$  με  $f = 30 \text{ Hz}$ ,  $N = 100$  σπείρες,  $I_1 = 20 \text{ A}$ , και  $a = 0.025 \text{ m}$ ,  
 $b = 0.25 \text{ m}$ ,  $c = 0.12 \text{ m}$ ,  $h = 0.20 \text{ m}$ .